

to be the same of as terpuse de layle Africa Malantians, etilosota job tod James II become of one for Dath 1862 200/80 -these transfer to them produced as as awalled with the sentence of the sentenc inhibited a malayed authority is relative in fragment of with sure to make the for the province polimina four els holbest spreader formers for on him on the day of the second water In the Case of the second includences and the second second FIN MAN TO ME A MATTER propries e min legen frakmisker. Jos option is to be The section of the se To bee the annual of the property of the second

edly it seemons a with fa

METANAT - 034 - 56

20 big. - 100x1 - 12/81

13-GP

COMPANHIA MATOGROSSENSE DE MINERAÇÃO

METAMAT

PROJETO ROCHAS MÁFICAS/ULTRAMÁFICAS DAS CABECEIRAS DO RIO GUAPORÉ

RELATÓRIO DE PROGRESSO

Autor : Lourival Alves Vasconcelos

Responsável técnico pelo Projeto:

JOAQUIM JURANDIR PRATT MORENO

ABRIL/1.982



I N D I C E

1	-	INTRODUÇÃO	01
2	-	LOCALIZAÇÃO E VIAS DE ACESSO	02
3	-	ASPECTOS FISIOGRÁFICOS	04
		3.1 - Relevo	₫4
		3.2 - Hidrografia	04
		3.3 - Clima	05
		3.4 - Solos e Vegetação	05
4	-	GEDLOGIA REGIONAL	06
5	-	GEOLOGIA LOCAL	10
		5.1 - Complexo Basal	10
		5.2 - Corpos Básicos/Ultrabásicos Metamorfizados	11
		5.3 - Corpos Ácidos	16
		5.4 - Metagrauvacas	16
		5.5 - Unidade Aguapei	17
		5.6 - Solos Argilosos e Lateritas	18
		5.7 - Estruturas	18
6	-	PROSPECÇÃO GEOQUÍMICA REGIONAL	20
		6.1 - Metodologia	20
		6.2 - Amostragem e Técnica Analítica	20
7	-	TRATAMENTO ESTATÍSTICO	27
А	_	DISCUSSÃO DOS RESULTADOS	39



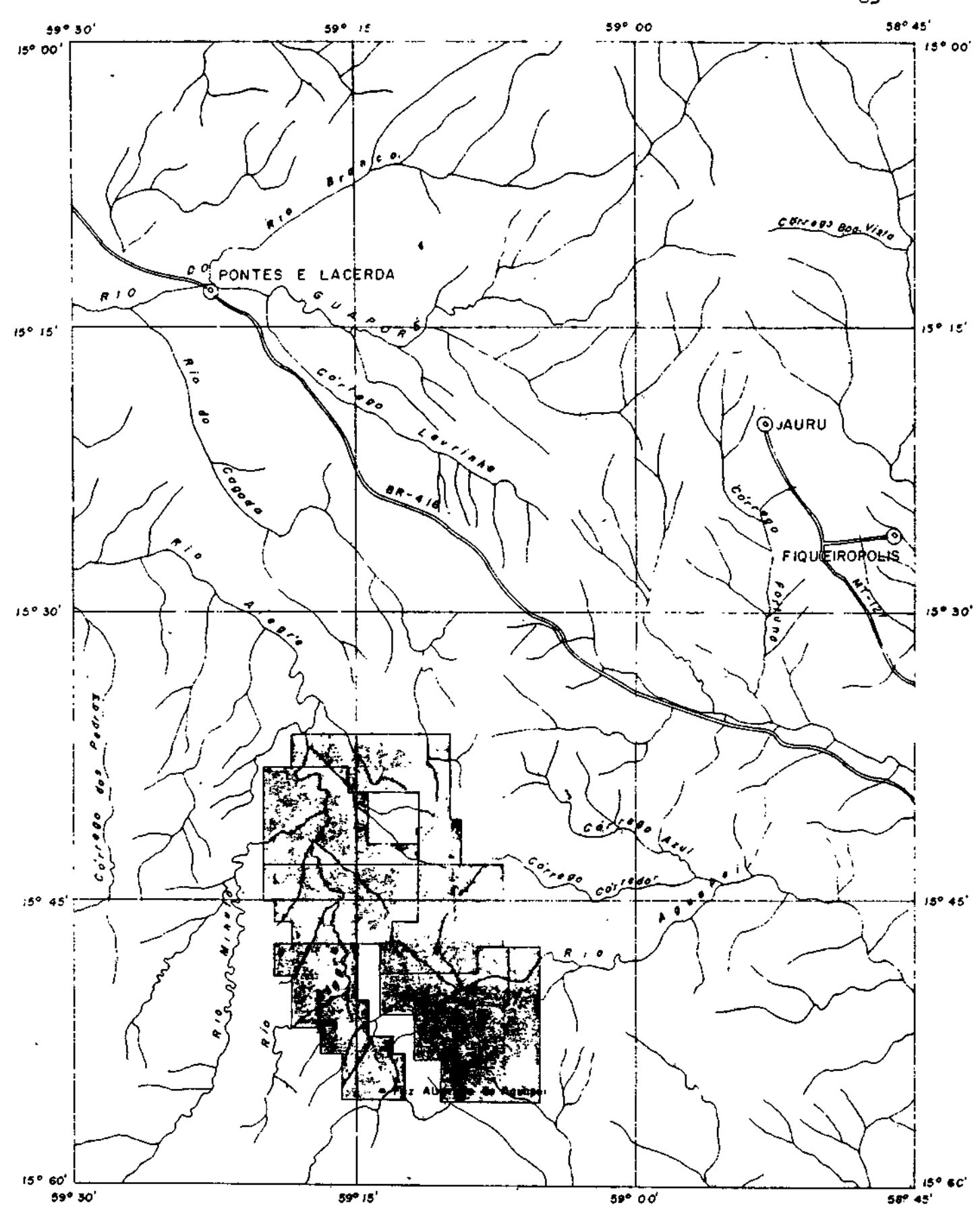
		8.1 - Considerações sobre o ouro
		8.2 - Prioridade A
		8.3 - Prioridade 841
		8.4 - Prioridade C
9	-	RESULTADOS DETIDOS NAS AMOSTRAGENS DE SEDIMENTOS DE CORRENTES E
		ROCHAS 43
10	-	CONCLUSÕES 48
11		RECOMENDAÇÕES
12		BIBLIDGRAFIA
13		FOTOS
14	-	ANEXOS
		I - Diagramas de Correlações Lineares
		II – Mapa de localização de estações de amostragem de concent <u>ra</u>
		dos de bateia e sedimentos de corrente.
		III - Mapa de zonas anômalas pera duro
		IV - Mapa de zonas anômalas pare Ni e Cu, em amostra de rocha
		V - Mapa: de zonas anômalas para cobre, cobálto, níquel e cromo
		VI – Mapa de zonas anômelas para chumbo e zinco
		VII - Mapa Geológica Preliminar

- 02 -

2 - LOCALIZAÇÃO E VIAS DE AGESSO

As áreas prospectadas localizam-se entre as Serras do Cágado, Pau-a-Pique, Salto Aguapeí e a Serra de Santa Bárbara, a SSE do município de Pontes e Lacerda, distando aproximadamente 75 km deste. (Fig. 01).

A partir de Cáceres o acesso às áreas é feito através da MT-174, trecho Cáceres - Pontes e Lacerda até a Agropecuária Cerro Verde, daí segue-se a esquerda por estradas secundárias que dão acesso às fazendas Getirana, Minouro, Cerro Azul, cortando quase todas as áreas.



MAPA DE LOCALIZAÇÃO PROJETO ROCHAS MÁFICAS/UTRÁMÁFICAS RELATÓRIO DE PROSPECÇÃO GEOQUIMICA REGIÓNAL ESCALA | 500 000 301=

AREA DE PESUUISA

O O CIDADE FAZENDA

RODOVIA SEM ABFALTO

DRENAGEM

Fig - 01

METAMAT -Abril / 82

COMPANHIA MATOGROSSENSE DE MINERAÇÃO

- 04 -

3 - ASPECTOS FISIOGRÁFICOS

3.1 - Relevo

As áreas prospectadas estão encaixadas em um vale, com cotas variando de 300 a 400 m, entre as Serras do Caldeirão, Pau-a-P \underline{i} que, Salto do Aguapeí e a Serra de Santa Bárbara. Esta última com as cotas entre 500 - 1000 m e as demais apresentando relevo em torno de 400 a 650 m.

3.2 - Hidrografia

Uma parte das áreas prospectadas, pertence`a bacia Amazônica, e outra à bacia do Paraguai.

Dos rios de bacia Amazônica que drenam a área, des taca-se o Rio Alegre, tendo o rio Minuto como seu principal afluente de margem esquerda. O rio Alegre tem suas nascentes na Serra de Santa Bár bara, próximo a Serra de Monte Cristo, e a norte deságua no rio Guaporé.

Dos rios da bacia do Paraguai, destaca-se o Aguapeí, como o principal, tendo o córrego Água Fria como afluente da margem esquerda o córrego do Morro Pontudo da margem direita. O rio Aguapeí tem suas nascentes na Serra de Santa Bárbara e deságua no rio Jauru, este,por sua vez no Paraguai.

O padrão de drenagem é dominantemente dendrítico , passando a pinado-retangular, pouco denso, em zonas com maior controle es trutural e também devido a boa porosidade das rochas.

COMPANHIA MATOGROSSENSE DE MINERAÇÃO

- 05 -

3.3 - Clima

Na região destaca-se o tipo tropical úmido, com duas estações bem definidas, uma chuvosa de outubro a abril e outra seca de maio a setembro. A temperatura média anual é de 24ºC e o regime atual das precipitações é caracteristicamente tropical, 1250 a 1750 mm, com máxima de verão e mínima de inverno.

3.4 - Solos e Vegetação

Nas áreas pesquisadas destacam-se solos arenosos areno-argilosos e argilosos.

Os solos arenosos são característicos de baixadas <u>a</u> luviais e planícies inundáveis, na sua maior parte são materiais oriundos de alterações de metarenitos, quartzitos e de rochas gnaíssicas.

Os solos areno-argilosos e argilosos são provenientes da alteração de rochas metabásicas/ultrabásicas.

A vegetação está diretamente relacionada aos tipos de solos, reflexo da natureza da rocha, clima e rede de drenagem.

Os campos estão associados a solos arenosos. Os cerrados sujos a matas densas estão relacionados aos solos areno-argilo - sos, argilosos e às rochas do Complexo Basal. Destacam-se também as matas de galerias ao longo das redes de drenagens.

COMPANHIA MATOGROSSENSE DE MINERAÇÃO

- 06 -

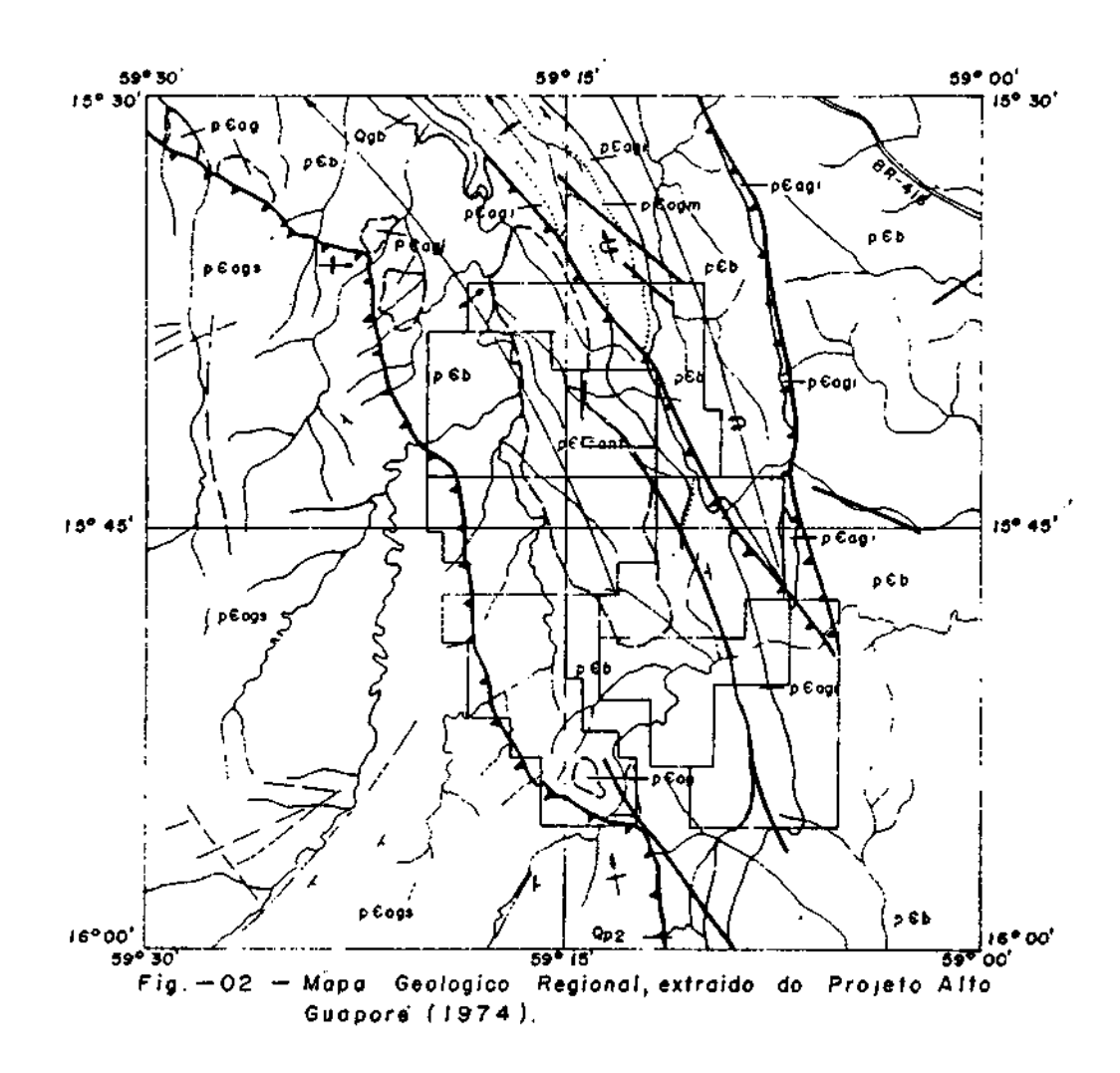
4 - GEOLOGIA REGIONAL

A região objeto desta pesquisa situa-se sobre a porção SSE do Craton do Guaporé, ou duvidosamente do Complexo Xingu (Barros, 1981), com idade mínima de formação em torno de 1400 m.a., entretanto podendo ser bem mais antigas, razão pela qual seu posicionamento poderá che gar ao Pré-Cambriano Inferior à Médio. É constituído por rochas metamórficas de fácies anfibolitos a fácies xisto verde, com gnaisses a biotita, gnaisses a duas micas, biotita-hornblenda gnaisses, além de outras rochas gnaíssicas menos comuns, e biotita muscovita xistos, seguidamente apresentando cloritas como constituinte importantes.

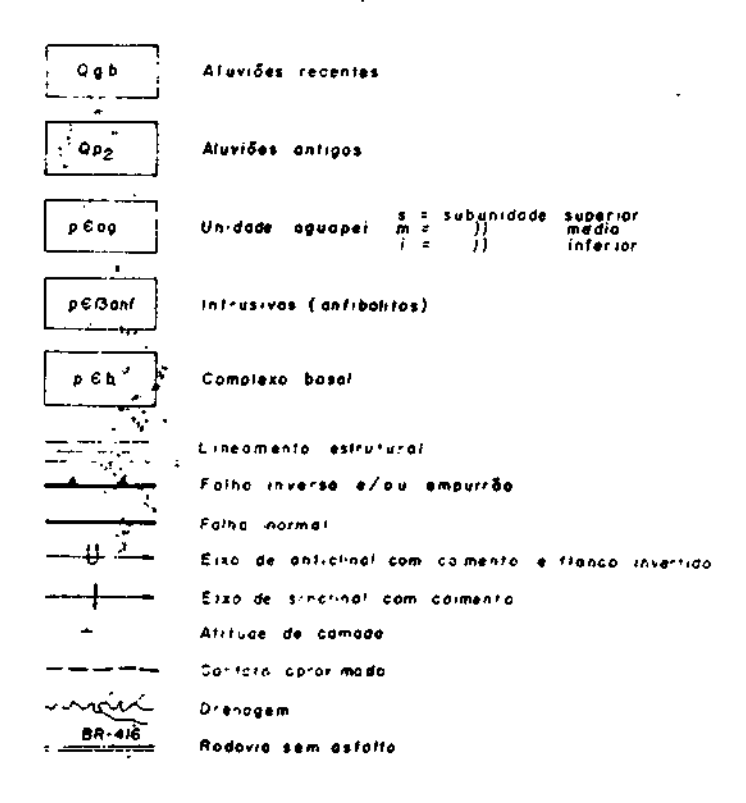
Essas rochas foram afetadas por vários fenômenos de reativações tectono-magmáticas, permanecendo seus registros, como por exem plo os corpos ígneos intrusivos de caráter ácidos e básicos/ultrabásicos, fenômenos metamórficos e retrometamórficos, ilustrando o prolongado perío do destas atividades tectônicas que agitaram tal província, cratonizada rantes do ciclo orogênico Brasiliano (Almeida, 1974).

Do ponto de vista geológico a região é pouco conhecida selvo pelo mapeamento de reconhecimento geológico executado pela CPRM para o DNPM (1973), na escala 1:250.000, denominado Projeto Alto Guaporé (Fig. 2).

As unidades litoestratigráficas mapeadas pelo proje to acima citado podem ser resumidas como seguem, numa ordenação da base para o topo.



CONVENÇÕES



- 08 -

Complexo Basal

Constituido por biotita gnaisses, gnaisses a duas mica biotita-hornblenda, gnaisses, biotita muscovita xistos e filonitos e intrusivas (granitos, serpentinitos, gabros e anfibolitos).

Unidade Aguapeí

Foi dividida em três subunidades, enquadradas no Pré-Cambriano Superior.

Subunidade Basal

Formada por metaconclomerado basal (em contáto com as rochas do embasamento), metarenitos ortoquartzíticos com intercalações de ardósia.

Subunidade Média

É constituída por ardósias em várias tonalidades , ocorrendo ocasionalmente metasiltitos intercalados.

Subunidade Superior

É formada por metarenitos feldapáticos e metarcósicos, com frequentes intercalações ardosianas.

Formação Puga

Compõe-se de conglomerados petromíticos com seixos e matacões de biotita-gnaisse, granitos, quartzitos, arcóseos e quartzo leitoso.

<u> Unidade Eo – Paleozóico Indiviso</u>

Arenitos conglomeráticos violeta, muito silisificado na base. No topo, arenitos médios a finos.

- 09 -

Formação Parecis

Arenitos ortoquartzÍticos médios a finos, fríáveis, cor amarelo a rosa claro.

Unidade Terciário/Quaternário detrito-lateritica

É representada por lateritos maduros e zonados, tendo na base a rocha alterada. Seguindo-se argilas manchadas, níveis de cangas e no topo, nível areno-argiloso.

Formação Guaporé

Aluviões Recentes

Formada por sedimentos arenosos grosseiros à médios e argilosos da atual planície de inundação do rio Guaporé.

Aluviões Antigos

Sedimentos argilosos e arenosos parcialmente lateri

METAMAT - 034 - SG

zados.



5'- GEOLOGIA LOCAL

Nas áreas prospectadas foram identificadas rochas '
pré-cambrianas, tidas como pertencentes ao Complexo Basal. Este é const<u>i</u>
tuído principalmente por biotita gnaisses, muscovita-sericita xistos ,
quartzitos e gnaisses retrometamórficos.

Trabalhos mais recentes (1981), executados pelo RA

DAM-BRASIL, correlacionaram duvidosamente este conjunto de rochas como '
pertencente ao Complexo Xingu.

5.1 - Complexo Basal

As rochas do Complexo Basal afloram na porção Sul e Sudeste das áreas prospectadas (Foto 1).

Os biotita-gnaisses constituem cerca de 80% destas rochas, que se compõem predominantemente de feldspato potássico (microcl<u>i</u> na e ortoclásio), quartzo, plagioclásios, biotita e minerais acessórios.
Os biotita-hornblenda gnaisses são poucos comuns.

Os muscovita-sericita-xistos, se associam a falha - mentos onde ocorrem filonitos e gnaisses brechados. A composição minera-lógica é essencialmente, muscovita, sericita e quartzo.

Os quartzitos são rochas de cores esbranquiçadas , associadas na maioria das vezes à zonas de falhamentos. São constituidos basicamente por quartzo bem recristalizado e óxido de ferro.

Gnaisses retrometamórficos são rochas de coloração'



cinza-esverdeado-avermelhado, granulação fina, alteradas, constituídas por quartzo, clorita e sericita.

Macroscópicamente são constiutídos por quartzo, sericita/clorita e muscovita como minerais essenciais, opacos e zircão como acessórios.

A textura é lepidoblástica - observa-se faixas não contínuas, ricas em cristais anhedrais de quartzo, alternados por faixas ricas em sericita provenientes de feldspato, às vezes, observa-se ainda formas tabulares. Agregados ricos em clorita e alguma muscovita, também são abundantes.

y 5.2 - Corpos 8ásicos - Ultrabásicos Metamorfizados

Os corpos básicos/ultrabásicos ocorrem em formas alongadas e semi-circulares. Os alongados possuem o eixo maior orientado¹ na direção NNW-SE.

As rochas mapeadas nesta etapa de prospecção são: anfibolitos, epidoto-anfibolitos, metagrabos anfibolitizados, serpentinitos, peridotitos e filonitos.

Os epídoto-anfibolitos e anfibolitos são predominantemente constituídos de anfibólios, epídotos, plagioclásios, tendo como minerais secundários: clorita, quartzo, apatita, biotita, titanita, feldospato potássico e opacos. Comumente apresentam textura nematoblástica e estrutura orientada, porém alguns anfibolitos retrometamorfizados, apresentam textura porfiroblástica, constituída por pórfiros de horblenda.

Os anfibólios são predominantemente da variedade

METAMAT - 034 - SG



COMPANHIA MATOGROSSENSE DE MINERAÇÃO

Os piroxênios quando presentes encontram-se quase 'completamente alterados para anfibólios (uralitização), salvo alguns restígios encontrados.

Apatita, titanita e feldspato K são os acessórios 'frequentemente encontrados nestas rochas.

Os opacos existentes não foram identificados, mas sabe-se que a maioria são sulfetos de ferro (FeS) , pois são visíveis à olho nú.

As diversas reações de transformações dos minerais presentes e suas associações indicam claramente fortes evidências de que as rochas anfibolíticas e epídoto-anfibolíticas sofreram intenso retrometamorfismo e forte ação hidrotermal.

A presença de piroxênios em algumas amostras e a quase ausência de quartzo, além da grande variação textural apresentada ' por estas rochas, são evidenciadas de que elas se originaram de rochas ' ígneas básicas (gabros, basaltos, diabásica, etc), que foram submetidas a intenso retrometamorfismo.

Metagabros Anfibolitizados (Leucogabros)

Estas rochas, ocorrem a sul das áreas prospectadas. São constituídas predominantemente por plagioclásios, hornblenda e clinopiroxênio diopsídio e augita. Como minerais secundários ocorrem opacos, biotita e caulinita.

Os plagioclásios são os maiores constituintes, apre sentando cristais tabulares, anhedrais a subhedrais, geminados segundo Lei

COMPANHIA MATOGROSSENSE DE MINERAÇÃO

- 14 -

da Albita/Periclina e Albita/Carslbad. Alguns cristais encontram-se alt \underline{e} rados, principalmente para caulinita.

A hornblenda mostra-se em cristais prismáticos sub a anhedrais. Observa-se alterações dos piroxênios para anfibólios.

A biotita parece originar-se dos máficos, principa $\underline{\mathbf{l}}$ mente dos piroxênios.

Estas rochas parece estar em zonas ou porções do Complexo Basal em que a ação retrometamórfica foi bem menos intensa, que nas regiões onde ocorrem os anfibolitos e epídoto-anfibolitos. Este fato é comprovado, pois os plagioclásios dos metagabros estão menos alterados que dos anfibolitos e a transformação de plagioclásio ou anfibólio em epídoto ou clorita não foi verificada.

<u>Filonitos</u>

São rochas de cor esverdeada, granulação fina e foliada. Estão no mesmo nível topográfico que os anfibolitos.

Petrograficamente são constituídos de carbonato clorita, quartzo, epídoto e opacos. A textura é cataclástica.

O carbonato ocorre em diminutos cristais, entremeados por cristais de quartzo e de epídoto, orientados. A clorita mostra - se em lamelas agrupadas, dispostas oblíquamente à faixas de xistosidade cataclástica. Vênulas preenchidas por carbonato em cristais romboédricos subdiomórficos, medindo em torno de 0,65 mm, além de quartzo em cristais fraturados, partidos, com extinção ondulante, são também concordantes com a xistosidade.

- 15 -

Serpentinitos

São rochas de cores esverdeadas, granulação fina a média, estrutura orientada, constituída macroscópicamente por serpentina. É bem visível também, grande quantidade de magnetita nestas rochas.

Petrograficamente foram identificados os seguintes minerais : serpentina, carbonato magnesiano e opacos.

No mesmo corpo serpentinítico, em rocha semi-altera da foram identificados os seguintes minerais : serpentina, opacos, olivina, clinopiroxênio e clorita.

A serpentina trata-se de antigorita fibrolaminar e crisotila. Mostra ainda núcleos remanescentes, com olivina parcialmente serpentinizada e também clinopiroxênio total ou parcialmente serpentinitizado, com estrutura em malha.

O mineral opaco liberado pelo processo de serpentinização apresenta-se orientado segundo fraturas irregulares, ou em cristais xenomórficos.

A clorita é pouco abundante, associa-se à serpentina. Bastante abundante é a presença de serpentina azul-arroxeada.

Pela composição mineralógica apresentada pela rocha semi-alterada, sugerimos para os serpentinitos uma origem a partir de Peridotito.

Peridotito (Harzburgito)

São rochas de coloração preta com pontos esbranquiçados, granulação grosseira, estrutura parcialmente orientada. Macroscó-

METAMAT - 034 - SG 20 bis, - 100x1 - 12/81

- 16 -

picamente são observados cristais de olivina alterados.

Petrograficamente são constituídas por serpentina, olivina, ortopiroxênio e opacos.

A serpentina (antigorita e/ou crisotila) parece ser produto de alteração da olivina, que encontra-se total ou parcialmente alterada mas preservando estrutura hexagonal característica.

O ortopiroxênio (hiperstênio), apresenta-se parcialmente alterado, envolvendo os núcleos remanescentes de olivina.

Opacos ocorrem em quantidades razoáveis, sendo que a maior parte é liberado pelo processo de serpentinização.

Esta rocha encontra-se parcialmente serpentinizada

5.3 - Corpos Ácidos

Nas áreas prospectadas somente um corpo de natureza ácido foi encontrado.

Granitos

São rochas de cores rosadas, granulação grosseira , muitas vezes porfiríticas, leucocráticas, constituída por feldspato potássico, plagioclásio, quartzo e biotita.

5.4 - Metagrauvacas

São rochas de cores cinza esverdeadas, granulação f \underline{i} na à média, textura granoblástica.

Petrograficamente são constituídas por : quartzo , plagioclásio, epídoto, clorita, feldspato potássico, hornblenda, sericita e opacos.

- 17 -

O quartzo apresenta cristais subhedrais a anhedrais alguns cristais com extinção ondulante. Os plagioclásios encontram-se par cialmente alterados principalmente para epídoto, clorita e sericita.

A clorita apresenta-se cristais anhedrais, formando' uma massa irregular na matriz.

O zircão, hornblenda e opacos são acessórios, ocor - rendo em pequena quantidade.

A posição estratigráfica destas rochas é muito duvidosa.

Muitos autores citam a associação quase constante '
dos peridotitos e serpentinitos com sedimentos geossinclinais (grauvacas e
cherts) e rochas vulcânicas (basaltos, espilitos, etc).

5.5 - Unidade Aguapeí

As rochas desta Unidade repousa sobre as rochas do Complexo Basal, em discordância erosiva e através de falhamentos inversos (Moraes, 1978).

Sua ocorrência nas áreas prospectadas é bastante des tacada, constituindo grandes cristas alinhadas segundo a direção NW-- SE, coincidindo com as mesmas direções dos grandes falhamentos, tendo sido por eles condicionados.

Nas áreas prospectadas não foram observados os con - glomerados basais da Subunidade Inferior da Unidade Aguapeí, descrita no Projeto Alto Guaporé.

A Subunidade Média é composta por intercalações de

COMPANHIA MATOGROSSENSE DE MINERAÇÃO

- 18 -

ardósias, filitos e metasiltitos, enquanto que a Superior é constituída 'basicamente por metarenitos feldspáticos, que nas regiões de falhamentos 'tomam aspectos de quartzitos.

5.6 - Solos Argilosos e Lateritas

O regime pluvial imperante na região, com alta plu - viosidade concentrada em períodos regulares, alternando em épocas de estia gem, favorecem o desenvolvimento de solos lateríticos, com mobilizações e fixações de ferro, propiciando inclusive a formação de cangas lateríticas como são encontrados em diversos locais das áreas prospectadas.

Os solos desenvolvidos nesta região variam de argilo -arenosos à argilosos, de cores avermelhadas. Em alguns locais, principal mente em cortes de estradas poderá encontrar rocha alterada.

5.7 - Estruturas

De uma maneira geral a compreensão do comportamento estrutural das rochas nesta região, está bastante prejudicada, quer pelo seu estado de alteração intempérica, quer pelo mascaramento dos solos que caracterizam sua área de afloramento, e também pela complexidade litológico-estrutural.

Entretanto existem duas direções preferenciais de fa lhamentos e/ou fraturamentos, sendo predominantes os de direção NE – SW , com direção N – NW subordinada.

Os corpos básicos/ultrabásicos parecem estarem relacionados a essa segunda direção tectônica, devendo ser falhamentos de tensão da crosta de grande magnitude.



- 19 -

Os metassedimentos da Unidade Aguapeí foram empurra dos contra as rochas do Craton do Guaporé e as feições estruturais desenvolvidas pertencem ao Sistema de falhamentos de direção geral NW – SE, que afetaram também as rochas do Complexo Basal.

METAMAT - 034 - SG

- 20 -

6 - PROSPECÇÃO GEOQUÍMICA REGIONAL

6.1 - Metodologia

Para todas as áreas prospectadas a metodologia de trabalho consistiu no seguinte :

- a Amostragem de cascalhos para obtenção de concentrados de bateia, visando a análise de ouro, n<u>u</u> ma densidade média de l amostra/17,5 km².
- b Amostragem de sedimentos ativos de corrente, para análise de Ni, Cu, Cr, Co, Pb e Zn, numa densidade de l amostra/14 km².
- c Eventualmente amostragem de solos e rochas.
- d Concomitantemente a prospecção geoquímica foi re alizado um mapeamento geológico preliminar.
- e As interpretações das anomalias foram feitas,utilizando critérios estatísticos, tendo como base o mapa geológico, pois não poderíamos dar o mes mo tratamento para valores provenientes de áreas com características geológicas muito distintas.

6.2 - Amostragem e Técnica Analítica

A etapa de amostragem consistiu na coleta de amos r tras de concentrados de bateia, sedimentos de corrente, rochas e eventual mente solos.

METAMAT - 034 - SG



~ 21 **~**

Para localização dos pontos amostrados foram utilizados mapas topográficos na escala 1:100 000 do SGE e fotografias aéreas na escala de 1:60 000 da USAF.

As amostragens de concentrados de bateia foram do $t\bar{t}$ po simples, a uma profundidade variando de 15 a 40 cm. Sempre que possível foram procurados locais própícios à deposição do ouro, afim de melhor detectá-lo (Foto - 2).

Em cada estação de amostragem foram coletados 12 litros de cascalho, onde o material grosseiro era eliminado manualmente. Do material restante fêz-se uma pré-concentração, onde se fazia uma avalia - ção visual da presença do ouro, através da contagem do número de pintas. Em seguida este pré-concentrado era embalado em sacos plásticos e posteriormente enviado para o laboratório da CPRM, em Goiânia, onde foram sub metidos a análise pelo processo de contagem de pintas, nas frações granulométricas -20 + 40, -40 + 60 e -60 + 80 mesh e amalgamação na fração menor que 80 mesh.

A avaliação final do ouro por amostra está representadas nas tabelas I e II em mg e mg/m³.

As amostragens de sedimentos de corrente foram real<u>i</u>
zadas concomitantemente com as de concentrados de bateia, sendo a amostr<u>a</u>
gem do tipo composta. Para todas amostras foram coletados cerca de 800 1000 ml de sedimentos no canal das drenagens, depois colocados em sacos
de plásticos, para evitar a perda de material fina.

Estas amostras foram enviadas para o laboratório da

MEYAMAT - 034 - SG 20 bis. - 100x1 - 12/81

- 22 -

CPRM - Superintendência de Goiânia, onde foram submetidas a análises químicas por espectrometria de absorção atômica, após abertura por HNO₃, concentrado a quente, para os seguintes elementos : Cu, Ni, Co, Cr, Pb e Zn. Os resultados destas análises estão nas tabelas III, IV e V.

Em todas as estações geoquímicas foram efetuadas , durante a amostragem, observações da geologia local, topografia e caracte ráiticas do solo e vegetação. Tais observações foram feitas em caderneta de campo, as quais foram utilizadas na confecção do mapa geológico preliminar.

Foram coletadas 37 amostras de sedimentos de corrente, 41 de concentrados de bateia e 16 de rochas.

TABELA - I P II

TEOR DE AU EM CONCENTRADOS DE BATEIA

NÚMERO DA AMOSTRA	OURO TOTAL POR AMOSTRA (mg)	TEOR DE Au (mg/m ³)
PP-L-CB-01	0,05	4,16
PP-L-C8-02	2,30	191,47
PP-L-CB-03	2,20	183,15
PP-L-C8-04	6,56	546,12
PP-L-CB-05	15,33	1 276,22
PP-L-C8-06	12,52	1 042,29
PP-L-C8-07	5,03	41 7 ,74
PP-L-CB-08	1,30	108,225
PP-L-CB-09	0,42	34,96
PP-L-C8-10	0,99	82,42
	•	



- 23 -

TEOR DE Au EM CONCENTRADOS DE BATEIA (Continuação)

NÚMERO DA AMOSTRA	OURO TOTAL POR AMOSTRA (mg)	TEDR DE ₃ Au (mg/m ³)					
PP-L-CB-11	6,84	569,43					
PP-L-CB-12	0,27	22,47					
PP-L-CB-13	0,36	29,97					
PP-L-CB-14	1,56	129,87					
PP-L-C8-15	4,54	378,33					
PP-L-C8-16	1,06	87,49					
PP-L-C8-17	0,65	54,16					
PP-L-CB-18	0,75	62,49					
PP-L-CB-19	1,40	116,66					
PP-L-CB-20	1,55	129,16					
PP-L-C8-21	1,40	116,66					
PP-L-CB-22	0,81	67,49					
PP-L-CB-23	2,94	244,99					
PP-L-CB-24	2,85	237,49					
PP-L-CB-25	3,70	308,33					
PP-L-CB-26	2,15	179,16					
PP-L-CB-27	3,85	320,83					
PP-L-CB-28	0,72	59,99					
PP-L-CB-29	2,7	224,99					
PP-L-CB-30	4,0	333,33					
PP-L-CB-31	3,75	312,49					
PP-L-CB-32	0,93	77,49					
PP-L-CB-33	7,89	657,49					
PP-L-CB-34	0,90	74,99					
PP-L-C8-35	12,32	1126,66					
PP-L-CB-36	6,03	502,49					
PP-L-CB-37	5,7a^	474,99					
PP-L-CB-38	2,15	179,16					
PP-L-CB-39	7,22	601,66					
PP-L-C8-40	1,19	99,16					
PP-L-C8-41	2,26	221,66					

Projeto Roches Máficas/Ultremáficas - Relatório de Prospecção Geoquímica Regional - METAMAT - 1982.



- 24 -

TABELA - III e IV

TEORES DE : Cu, Pb, Zn, Ni, Co e Cr, EM SEDIMENTOS DE CORRENTE

NÚMERO DA AMOSTRA	Cu (ppm)	Pb (ppm)	Zn (پسمور)	(ÞÞM.)	Со (ф р т)	Cr (ppm)
PP-L-SC-01	4	6	4	2	4	6
PP-L-SC-02	6	8	12	6	8	6
PP-L-SC-D3	4	6	4	3	3	6
PP-L-SC-04	2	2	4	3	3	6
PP-L-SC-05	4	4	4	4	3	8
PP-L-SC-D6	5	6	22	4	5	10
PP-L-SC-07	6	14	10	5	. 6	10
PP-L-SC-08	6	8	6	4	4	6
PP-L-SC-09	8	8	8	5	6	8
PP-L-SC-10	16	12	14	8	15	20
PP-L-SC-11	18	9	32	6	11	20
PP-L-SC-12	9	8	14	6	6	6
PP-L-SC-13	24	14	18	16	17	40
PP-L-SC-14	22	10	22	22	29	70
PP-L-SC-15	10	6	10	10	13	24
PP-L-SC-16	11	a	14	8 .	7	14
PP-L-SC-17	10	10	14	. 6	13	16
PP-L-SC-18	6	8	` 16	6	4	10
PP-L-SC-19	12	8	16	12	11	20
PP-L-SC-20	22	12	34	24	28	38∙
PP-L-SC-21	4	5	4	2	2	4
PP-L-SC-22	4	6	2	3	3	4
PP-L-SC-23	5	2	4	5	4	14
PP-L-SC-24	<u>64</u>	16	32	310	36	<u>430</u>
PP-L-SC-25	16	8	18	10	11	12
PP-L-SC-26	7	12	8	9	13	12
PP-L-SC-27	22	10	32	78	23	140
PP-L-SC-28	8	4	12	5	7	14
PP-L-SC-29	4	2	10	2	2	4
PP-L-SC-30	7	6	12	6	4	10
PP-L-SC-31	4	4	4	2	4	5

- 25 -

TEORES DE : Cu, Pb, Zn, Ni, Co e Cr, EM SEDIMENTOS DE CORRENTE (Cont.)

NÚMERO DA AMOSTRA	Си (р ірін)	Pb (pjjm)	Zn (ppm)	Ni (pġm)	Co (Þjim)	Cr (ppm)
PP-L-SC-32	12	12	42	14	16	18
PP-L-SC-33	14	8	16	7	13	14
PP-L-SC-34	8	4	6	4	7	В
PP-L-8C-35	9	4	2	2	1	2
PP-L-SC-36	4	4	2	2	3	2
PP-L-SC-37	10					

Projeto Rochas Máficas/Ultramáficas - Relatório de Prospecção Geoquímica Regional - METAMAT - 1.982

METAMAT - 034 - SG 20 bis. - 100x1 - 12/81



- 26 -

TABELA - V

TEORES DE : Cu, Pb, Zn, Ni, Co e Cr EM AMOSTRAS DE ROCHAS

NÚMERO DA AMOSTRA	(ppm)	₽ ե (բ րե)	Zn (ppm)	Ni (ppin)	Co (pipm)	Cr (ppm)
PP-L-R-01	190	6	16	300	25	1 <u>80</u>
PP-L-R-02	110	12	28	88	33	40
PP-L-R-03	40	16	30	1500	82	1100
PP-L-R-04	100	6	14	64	13	108
PP-L-R-05	26	14	60	48	24	90
PP-L-R-06	100	6	10	80	14	120
PP-L-R-07	36	8	64	46	21	48
PP-L-R-08	52	12	14	72	19	46
PP-L-R-09	4300	7 2	135	2600	88	400
PP-L-R-09-A	88	20	34	800	82	900
PP-L-R-10	160	8	28	84	36	88
PP-L-R-11	40	8	125	3 2	17	46
PP-L-R-11-A	32	10	66	18	17	26
PP-L-R-12	82	8	30	42	28	34
PP-L-R-12-A	64	8	32	28	23	34
PP-L-R-13	48	10	46	34	18	42

- 27 -

7 - TRATAMENTO ESTATÍSTICO

As amostras de rochas e concentrados de bateia foram agrupadas em subpopulações em função das litologias presentes na área prose pectada, enquanto que as de sedimentos de corrente foram consideradas advindos de uma só população, porque não revelaram contrastes geoquímicos 'marcantes, salvo algumas exceções e também porque a quantidade de dados 'por litologia foi insuficiente para ser tratado estatísticamente.

As curvas de frequências para Cu, Pb, Zn, Ni, Co e Cr, revelaram para os mesmos, distribuição do tipo aproximadamente lognor-mal.

Foram determinados para cada elemento a média, desvio padrão e o seu coeficiente de variação (Quadro I e II).

O coeficiente de variação V, indica uma grande dispersão para o Níquel e Cromo e uma dispersão bem menor para o Zn, Pb e Cu.

O Co ocupa posição intermediária, no que diz res - peito ao coeficiente de variação.

Adiante na tabela VI estão relacionados Cobre, Chumbo, Zinco, Níquel, Co e Cr, com seus respectivos coeficientes de correla ção. Podemos verificar que o cobre e níquel, cobre e cobalto e cromo e níquel foram os elementos que apresentaram os melhores graus de correlações, enquanto os demais elementos apresentaram coeficientes modestos.

Foram também calculados os coeficientes de correla -



ção para Au/Cu, Au/Pb e Au/Ni (Tabela - VII), obtendo-se os valores:-0,53, -0,51 e -0,22, respectivamente. Valores tão baixos assim indicam que o Au; Cu, Pb e Ni, são provenientes de fontes diferentes. Estes coeficien - tes foram calculados graficamente, segundo MARQUES J.M.M. (1958) (Figs. 3, 4 e 5).

A definição das anomalias de 12, 28 e 38 ordem foi feita com base na média aritmética (\bar{x}) e no desvio padrão (S) (Quadro I) para Cu, Pb, Zn, Ni, Co e Cr e (Quadro II), para ouro. Assim os intervalos escolhidos são:

Anomalia de 18 ordem = \bar{x} + 38

Anomalia de 28 ordem = entre \bar{x} + 39 e \bar{x} + 29

Anomalia de 38 ordem = entre \bar{x} + 29 e \bar{x} + 9

Anomalia de 3º ordem = entre \bar{x} + 2S e \bar{x} + S Substituindo-se nestes expressões os seus valores

obteve-se para às áreas, os seguintes intervalos:

<u>Cu (ppm)</u>

16,8 - 24,1 — 3**2** ordem

14,2 - 31,4 - 2■ ordem

>31,4 - la ordem

Zn (ppm)

23,86 - 34,27 **→** 3^a ordem

35,0 - 44,68 - 2ª ordem

>44,68 - 13 ordem

- 29 -

As anomalias provenientes das análises de roches basearam-se principalmente nos dados petrográficos, e químicos, compárados --com os dados das Tabelas VIII, IX e X.

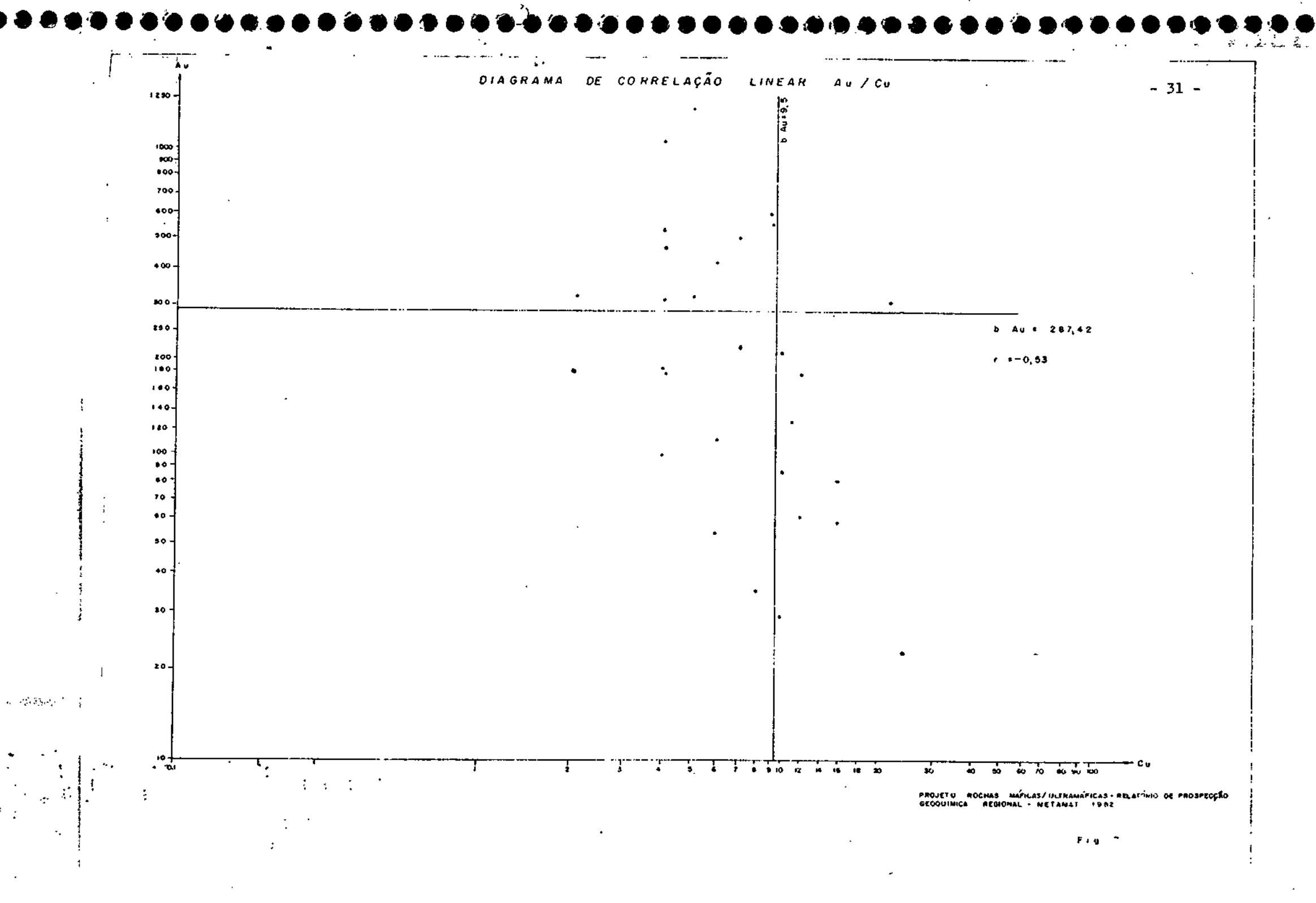
> 1121,21 — 1**s** ordem

- 30 -

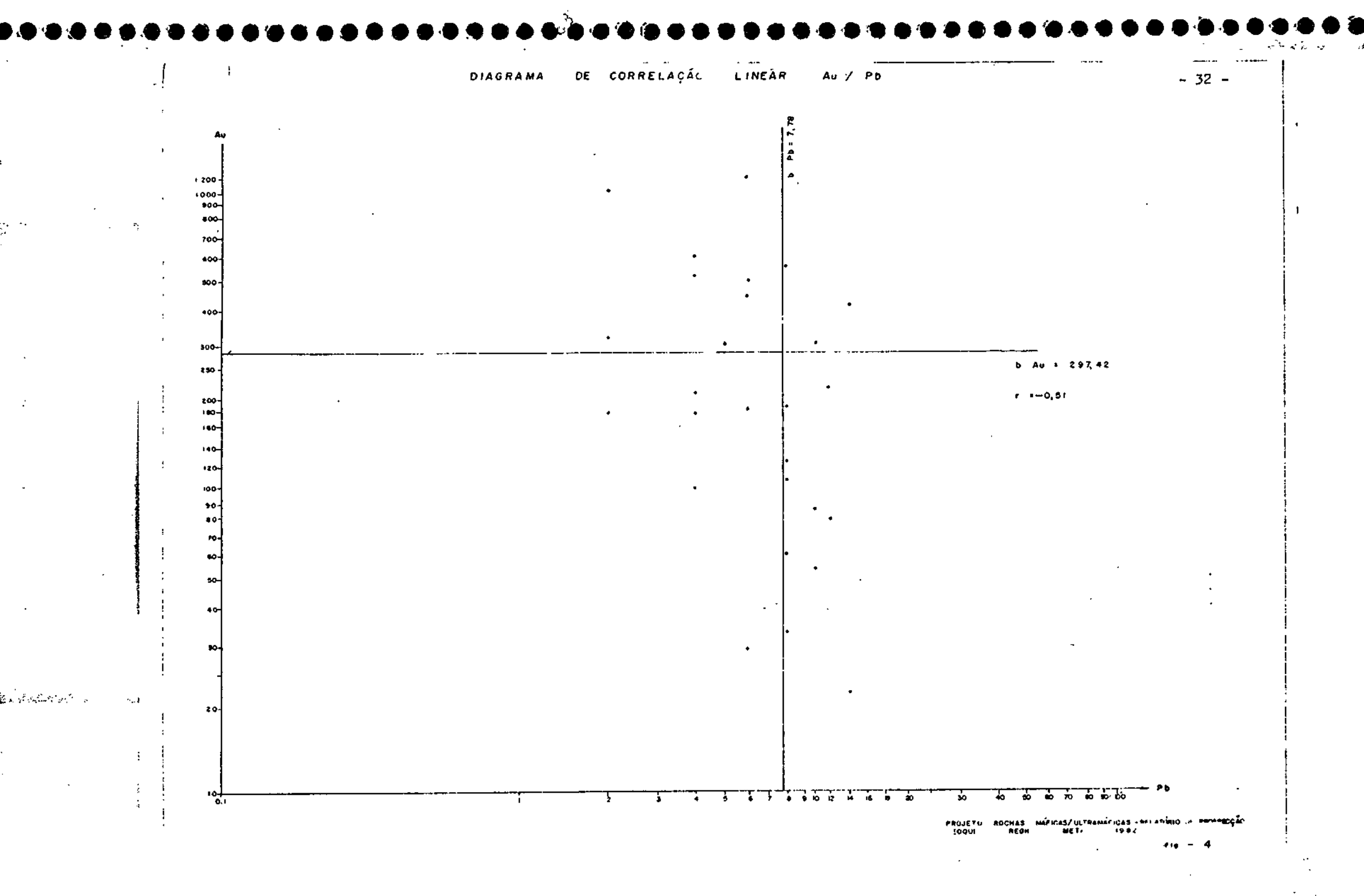
Para o cálculo dos referidos parâmetros estatísticos mão foi levado em consideração as flutuações do conteúdo dos metais nos sedimentos de corrente que porventura possam existir, devido às variações no índice de precipitação, muito marcante na região Amazônica. Embora ainda não se tenha determinado o nível de influência desse fator climático, por ser o primeiro trabalho desse gênero desenvolvido na região, tem-se notado uma certa diferença entre a distribuição dos elementos provenientes de a mostras de sedimentos ativos (drenagens com água) e inativos (seça).

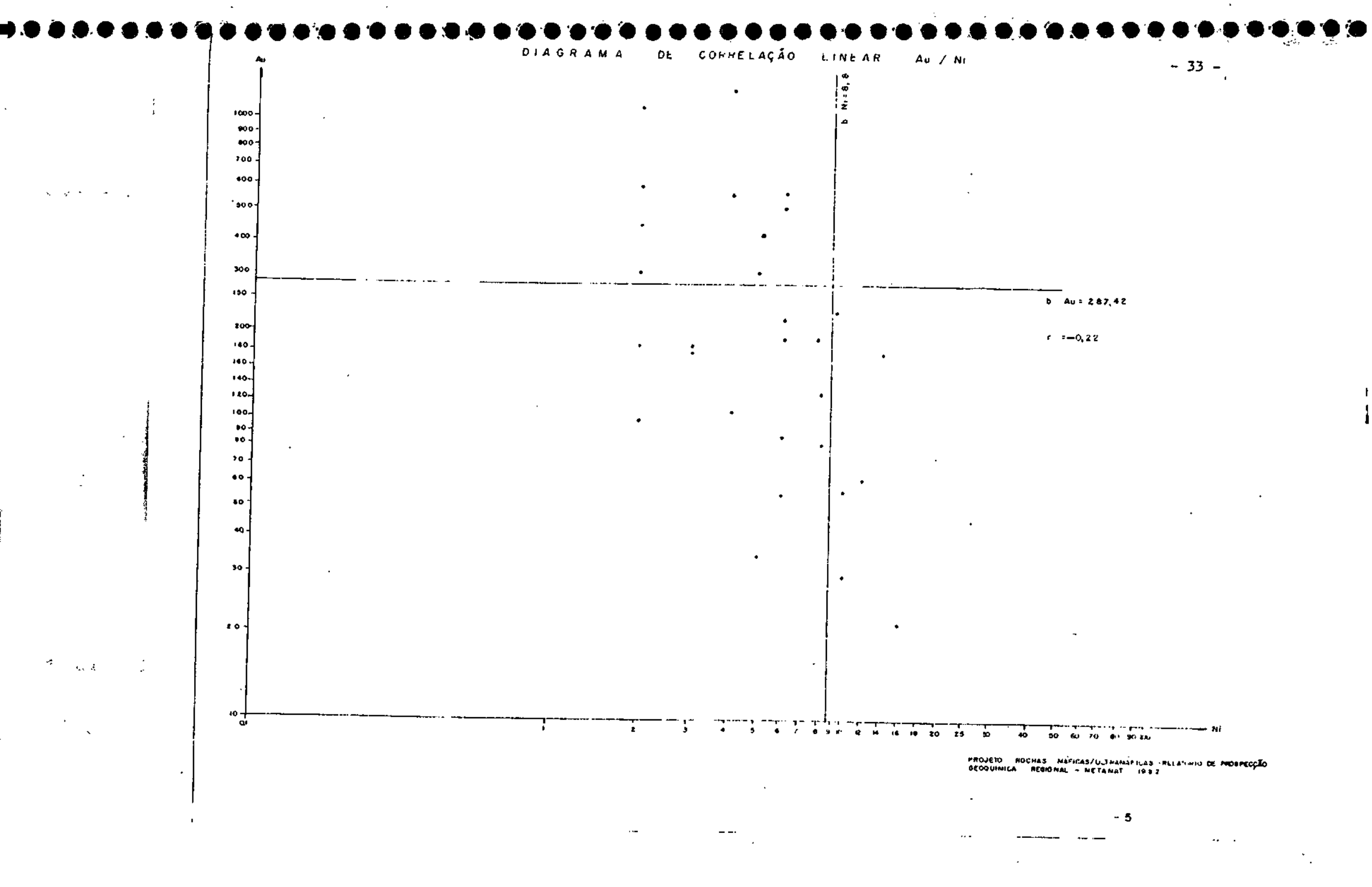
Deve-se salientar que a maior parte das amostragem 'foram feitas durante o período de diminuição dos níveis de água, estando' a maior parte das drenagens secas (Fotos 3 e 4), inclusive tivemos que 'carregar as amostras a uma grande distância, para bateamento no Rio Agua -peí (Fotos 5 e 6) ou em um pequeno açude na Faz. Cristal.(Foto 7).

Nos mapas de zonas anômalas (ver anexos), as anomal<u>i</u> as estão numeradas, seguidas das letras A, B e C, que caracterizam o grau de prioridade em ordem decrescente.



J. 1978.





- 34 -

TABELA - VI

COEFICIENTE DE CORRELAÇÃO

	Cu	Pb	Zn	Ni	Co	Cr
Си	1.000	0,743	0,79	0,895	0,972	0,766
Pb		1.000	0,743	0,358	0,743	0,587
Zn			1.000	0,454	0,809	0,54
Ni				1.000	0,831	0,90
Co					1.000	0,809
Cr						1.000
	1					

QUADRO - I

ANÁLISE ESTATÍSTICA DOS DADOS DA PROSPECÇÃO REGIONAL

	Ըս (ք ր տ)	Pb (ppm)	Zn (ppm)	Ni (ppm)	Co (ppm)	Cr (ppm)
X	9,5	7,78	13,45	8,8	9,6	17,13
S	7,3	3,6	10,41	12,75	8,24	24,7
V	0,76	0,46	0,77	1,44	0,85	1,44

X = Média Aritmética

S = Desvio Padrão

V = Coeficiente de Variação

- 35 -

QUADRO - II

PARÂMETROS ESTATÍSTICOS DE OURO NA PROSPECÇÃO REGIONAL

PARÂMETRO	MÉDIA ARITMÉT <u>I</u>		COEFICIENTE DE	Nº DE
ELEMENTO	(X)		VARIAÇÃO (V)	AMOSTRAS
Au mg/m ³	287,42	277,93	0,97	41

TABELA - VII

COEFICIENTE DE CORRELAÇÃO PARA OURO

	Ац	Си	Pb ,	Ni	
Au	1.000	- 0,53	- 0,51	- 0,22	

- 36 -

TABELA - VIII

BACKGROUND DE Ni, Cu, Co EM ROCHAS (Valores em Ppm)

Litologia	Ni	Çu	Co	Referência
Dunitos	1100	10	180	Challis, 1.965
Ultramáficas	1500	30	110	in Willye, 1.967
Serpentinitos	3700	_	270	Ribeiro, 1.973
Serpentinitos	2030	34	76	Issa, 1.974
Serpentinitos Rocha	1600	26	180	Ribeiro, 1.974
Serpentinitos Solo	3900	67	346	Idem, Idem
Piroxenito	800	_	_	in Willye, 1.960
Clinopiroxenito	509	27	47	Issa, 1.974
Básica	97	149	32	In 5haw, 1.964
Gabros	122	154	135	Ribeiro, 1.973
Olivina-Gabro	102	05	61 .	Boweri, 1.964
Gabro	119	21	36	Lichenberg, 1.969
· · · · · · · · · · · · · · · · · · ·				· · · · · · · · · · · · · · · · · · ·



- 37 -

TABELA - IX

CONCENTRAÇÕES DOS METAIS DE MINÉRIOS COMUNS NAS ROCHAS ÍGNEAS (ppm)

	ULTRAMÁ	FICAS	MÁFICAS INTERMEDIÁRIAS		GRANITO		SIENITO		
	TW	٧	TU	V	ТШ	V	TW	V	TW
Li	0,x	0,5	17	15	24	20	40	40	28
Be	l o,×	0,2	1	0,4	2	1,8	3	5,5	1
Ti	300	300	13.800	9.000	3.400	8.000	1.200	2.300	3.500
V	40	40	250	200	88	100	44	40	30
Cr	1.600	2.000	170	200	22	50	4,1	25	2
Мπ	1.620	1.500	1.500	2.000	540	1.200	390	600	l. 850
Co	15 0	200	48	45	7.	10	1	5	1
Ni	2.000	2.000	130	160	15	55	4,5	8	4
Cu	10	20	87	100	30	35	10	20	5
Zn	50	30	105	130	60	72	39	60	130
As	1	0,5	2	2	1,9	2,4	1,5	1,5	1,4
Se	0,05	0,05	0,05	0,05	0,05	0,05	0,05	0,05	0,05
Zr	45	30	140	100	140	260	175	200	500
ΝЬ	16	1	19	20	20	20	21	20	35
Mo	0,3	0,2	1,5	1,4	1,0	0,9	1,3	1	0,6
Ag	0,06	0,05	0,11	0,1	0,05	0,07	0,04	0,05	0,0x
Cd	0,×	0,05	0,22	0,19	0,13	-	0,13	0,1	0,13
Sn	0,5	0,5	1,5	1,5	1,5	-	3	3	×
Sb	0,1	0,1	0,2	1	0,2	0,2	0,2	0,26	0,×
Ce	0,×	-	48	4,5	81	-	92	100	161
Ta	1	0,02	1,1	0,5	3,6	0,7	4,2	3,5	2,1
W	0,77	0,1	0,7	1	1,3	1	2,2	1,5	1,3
Αu	0,006	0,005	0,004	0,004	0,004	-	0,004	0,005	0,00×
Hg	0,0x	0,0×	0,09	0,09	0,08	_	0,08	0,08	0,0x
TI	0,06	0,01	0,21	0,2	0,72	0,5	2,3	1,5	1,4
РЬ	1	0,1	6	8	15	15	19	20	12
Bi	-	0,001	0,887	0,007	-	.0,01	0,01	0,01	-
Th	0,004	0,005	4	3	0,5	7	17	18	13
U	0,001	0,003	1	0,5	3,0	1,8	3	<i>-</i> 3,5	3,A
s	300	100	300	300	300	200	300	400	300

TW - segundo Turekian e Wedepohl (1961); V - segundo Vinogradov (1962) ; Vinogradov incluiu os granodioritos nas "rochas graníticas"; Turekian nas "rochas intermediárias".

20 ble. - 100x1 - 12/81

TABELA - X

	TEOI	TEORES MÉDIOS (p.p.m.)						
ELEMENTO	Rochas İgneas							
	М	UM	М	F				
As	2	2,8	2	1,5				
Ba	640	15	270,	830				
Be	4,2	0,2	1,5	5,5				
ј в	13	40	10	15				
Cd	0,13	-	0,19	0,1				
Cr	117	2,000	300	25				
Co	18	200	45	5				
Си	70	80	140	30				
F	600	100	370	800				
ΓΑ	-	0,1	0,035	0,01				
Pb	16	-	± 12	48				
Li	50	2	15	70				
Мп	1.000	1.300	2,200	600				
Hg .	1,7	0,4	1,4	1,9				
Mo	1,7	0,4	1,4	1,9				
Ni	100	1.200	160	8				
NЬ	20	15	20	20				
. Se	0,09	-	-	-				
Ag	0,2	0,3	0,3	0,15				
S	900	3.000	2.000	400				
Sn ´	32	***	6	45				
Ti .	4.400	3.000	9.000	2.300				
Ш	2	-	-	1,8				
U	2,6	0,03	0,8	3,5				
V	9 0	140	200	40				
Zn	80	50	130 .	60				

M - média; UM - ultramáficas; M - máficas; F - félsicas. Marques, S. M. M. (1978)



COMPANHIA MATOGROSSENSE DE MINERAÇÃO

8 - DISCUSSÃO DOS RESULTADOS

8.1 - Considerações sobre o ouro

A região prospectada é reconhecidamente aurifera tendo sido objeto de intensa garimpagem pelos portugueses entre o inicio do século XVIII e a metade do século XIX. Evidências dos eventos de garigaçens foram encontradas nesta etapa de prosepcção (Fotos 8,9,10 e 11).

Atualmente as atividades garimpeiras na região es tão paralizadas, devido principalmente a :

- 1 Intransigências dos proprietários das terras.
- 2 Pouca quantidade de água na região, sendo que maioria das drenagens estão inativas (secas).
- 3 Falta de infra-estrutura básica para os garimpe ros, como por exemplo, máquinas para desmonte c cascalho, etc.

O ouro foi detectado em todas sete (7) áreas prospetadas (Tabelas I e II), embora a maioria dos pontos amostrados apresen ram baixos teores. A definição das prioridades das zonas anômalas, base-se principalmente em três critérios, a saber :

- a) conteúdo total do ouro por amostra.
- b) quantidade de pintas individualizadas nas amost (vistas a olho nú).
- c) tamanho das pintas.

COMPANHIA MATOGROSSENSE DE MINERAÇÃO

- 40 -

Apesar da densidade de amostragem na Bacia do Rio 'Aguapeí ter sido maior que na do Rio Alegre, esta apresentou um background de $120,1\,\,\mathrm{mg/m}^3$ de ouro, enquanto que a segunda foi um pouco maior, da ordem de $177,48\,\,\mathrm{mg/m}^3$.

8.2 - Prioridade A

ZONA 1A

Corresponde às amostras PP-L-C8-05, PP-L-C8-06

PP-L-C8-04 e PP-L-C8-11, sendo que as duas primeiras estão localizadas n

Rio Aguapeí e as duas últimas em um afluente da sua margem esquerda.

As amostras PP-L-CB-O4 e PP-L-CB-11, apesar de pos suirem teores de 546,12 e 569,43 mg/m³, foram enquadradas em zonas de Pri ridade A, devido ao número de pintas de ouro visíveis a olho nú, em númer de 12 e 16, respectivamente e também devido ao aumento gradativo do núm ro de pintas e consequentemente dos teores, observados de jusante para mo tante, em direção a Serra do Aguapeí, dando idéia de que o ouro, esteja e sociado aos metarenitos da Unidade Aguapeí ou possivelmente a veios courante injetados nestas rochas, como na Serra de São Vicente, mais nordeste das áreas prospectadas.

ZONA ZA

É formada pelas amostras PP-L-CB-37, PP-L-CB-36 PP-L-CB-39 e PP-L-CB-35. Destas destacam-se as amostras PP-L-CB-39, anô la com teor de $601,6^{m}$ g/m³ e a PP-L-CB-36, anômala com 1126,6 mg/m³, apre sentando 13 e 26 pintas de ouro, respectivamente.

COMPANHIA MATOGROSSENSE DE MINERAÇÃO

- 41 -

É importante também observar nesta zona, o aumento 'gradativo dos teores de ouro de jusante para montante, semelhante à zona lA .

8.3 - Prioridade B

ZONA 1B

É formada pelas amostras PP-L-CB-33, PP-L-CB-31

PP-L-CB-32.

Esta zona está localizada em antigos garimpos (Foto:

8,9,10 e 11).

A amostra PP-L-C8-33, requer atenção especial, poi o ouro nesta, está associado a veios de quartzo, injetados nos metarenito da Unidade Aguapeí, em região de falhamento (Fotos 12,13 e 14). Em um amostragem de 12 £ de material retirado do veio de quartzo, obteve um te de 657,5 mg/m³ de ouro, tendo apresentado 32 finas pintas de ouro. Nest amostra foram observados, pelo geólogo Walter Marques, CPRM - Goiânia, fi mentos de sulfetos, provavelmente pirita e/ou calcopirita em pequenas per centagens, além de grande quantidade de Arseno-pirita, magnetita e zircão

Tendo em vista a presença de arsenopirita nesta a mostra, provavelmente o arsênio poderá ser utilizado como elemento fareja dor de zonas auríferas nesta região, já que o ouro não está associado rochas básicas/ultrabásicas.

Sugere-se que na etapa de prospecção de semi-detal seja feita análise química de algumas amostras para arsênia.



- 42 -

8.4 - Prioridade C

ZONA 1C

Corresponde às amostras PP-L-C8-23 e PP-L-C8-07, que mesmo apresentando teores de 244,99 e 418,74 mg/m³ de ouro, respectivamente, foram consideradas como anomalias de 3ª ordem, por mostrarem um aumento gradativo de teores em direção a montante e por se localizarem próximo à região de garimpos abandonados.

- 43 -

9 - RESULTADOS OBTIDOS NAS AMOSTRAGENS DE SEDIMENTOS DE CORRENTES E ROCHAS

ZONA 3A

Esta anomalia corresponde as amostras PP-L-SC-27

PP-L-5C-24.

Deve-se observar que a amostra PP-L-SC-24, apresen tou altos valores para Cu, Ni, Co e Cr, ou seja 64, 310, 36 e 430 ppm, repectivamente.

O cobre por sua menor mobilidade nas condições rei nantes, adquire importância especial, devendo assim, esta anomalia merece prioridade nas atenções para prosseguimento dos trabalhos futuros.

Deve-se salientar que tal anomalia está essociada rochas ultrabásicas (Peridotito), e as associações cobre-cobalto-níquel cromo nestes tipos de rochas são muito comuns. Pode também ser observado na Tabela VI, que Cu, Ni, Co e Cr, apresentaram grau de correlações eleve dos, confirmando esta associação.

ZONA 2B

É formada pela amostra PP-L-SC-14, que apresentou 2
22, 29 e 70 ppm, respectivamente de Cu, Ni, Co e Cr. Também merece aten __
ção especial, pois está associada a corpos anfibolíticos.

ZONAS 2C e 3C

- 44 -

Ambas estão associadas à rochas anfibolíticas e apresentaram altos teores para Cromo e Cobalto e valores médios para Ni e Cu.

Devido ao Níquel, Cromo e Cobalto terem apresentado uma grande dispersão 'em toda região, haverá necessidade de se coletar mais amostras para configuação da anomalia e se os metais acima citados estão sob a forma detrítica ou na forma de íons livres.

ZONA 4A

É formada pelas amostras PP-L-R-09 e PP-L-R-09-A que correspondem a um corpo ultrabásico (Peridotito).

A primeira amostra acima apresentou teores anômalos de 4300 e 2600 ppm para Cobre e Níquel, respectivamente. Este valor de 4300 ppm para Cu é bastante elevado em amostra de rocha, sendo bem superi aos valores máximos obtidos em prospecção de semi-detalhe no Complexo Bás co-Ultrabásico de Americano do Brasil (2050 e 1945 ppm de Cu), também e rocha hospedeira (Santos, 1973).

O teor de 2600 ppm para Ni é também bastante anima dor, já que está intimamente associado com o Cobre. O Background de N quel para rochas ultrabásicas varia de 1200 - 2000 ppm (ver Tabs. VIII, e X).

A amostra PP-L-R-09-A, também apresentou valor anô lo para cobre, com 88 ppm, uma vez que o background para este elemento n te tipo de rocha varia de 10 - 30 ppm.

Assim, o cobre e o níquel são os metais que aprese tam as melhores perspectivas com relação à zona 4A, que além de estar as

••••••••••••••••••••

COMPANHIA MATOGROSSENSE DE MINERAÇÃO

- 45 -

ciada às rochas peridotíticas, estão em zonas de falhamentos, que são lo cais propícios à remobilizações de sulfetos.

ZONA 5A

Está associada a um corpo serpentinítico alongado sendo condicionado por falhamentos. Apesar das análises químicas por Ab sorção Atômica, revelarem teores de 1500 e 40 ppm para Ni e Cu, respectiv mente, este corpo merece destaque, pois poderá conter mineralizações d amianto, principalmente nas regiões de falhamentos. Pelos dados petrográficos e também em amostras de rochas, são visíveis a presença de serpenti na (antigonita e/ou crisotila).

Além disso, este corpo serpentinítico possui muitas características semelhantes aos serpentinitos mineralizados a amianto : Cana Brava, no Estado de Goiás.

Aqui serão enumeradas algumas carzcterísticas seme lhante entre os serpentinitos de Cana Brava e o serpentinito do Guaporé.

- O Complexo de Cana Brava cronologicamente está tuado entre o Pré-Cambriano Inferior a Médio, com idade de 1100 - 1700 a., enquanto que os corpos básicos/ultrabásicos do guaporé estão entre intervalo de 1400 e 850 m.a. (Barros, op. cit.)

- O embasamento das rochas do Complexo de Cana Bra são as rochas gnaissicas do Pré-Cambriano Indiferenciado (Complexo Bas Goiano), com idade de 1200 - 3400 m.a., enquanto que as rochas metabás cas/ultrabásicas do Guaporé, estão intrusas nas litologias do Complexo sal, duvidosamente ao Complexo Xingú, (Barros, opl cit.) com idade mínim

- 46 -

de 1400 m.a., podendo seu posicionamento chegar também ao Pré-Cambriano I ferior a Médio.

- O serpentinito de Cana Brava, é constituido petro graficamente por serpentina, variedade fibrosa, opacos (magnetita), event almente talco. Material reliquiar e pseudomorfos de clinopiroxênio, oliv na e ortopiroxênio são identificados, tendo uma origem a partir de piroxe nito (clinopiroxênio) e/ou harzburgitos (ortopiroxênio e olivina).

Os serpentinitos do guaporé possui uma mineralogia semelhante ao de Cana Brava, onde sugerimos uma origem a partir de Peridtito (hrzburgito).

- Também são comuns entre os serpentinitos de Ca Brava e Guaporé a presença de carbonato.
- O grau de serpentinização é bastante semelhante.
 Os peridotitos prováveis (harzburgitos), estão totalmente serpentinizado raros sendo os restos reliquiares de olivina e piroxênios.

Pelos motivos expostos, este corpo serpentinítico deve merecer atenção especial, para trabalhos de prospecção de semi-dete lhe.

ZONA 38

Corresponde a amostra PP-L-R-O1, que apresentou to res anômalos para Níquel e Cobre, 300 e 190 ppm, respectivamente.

Esta anomalia merece atenções para trabalhos de porto de semi-detalhe, pois está associada à rochas gabróicas (leucoga bros).



- 47 -

O background médio de cobre nestas rochas está e torno de 70 ppm e de níquel 160 ppm, então os valores de 300 ppm para Cu 190 ppm para níquel é bastante animador.

ZONA 4B

É formada pela amostra PP-L-R-10, que apresentou t or anômalo para cobre ou seja 160 ppm.

Está essociada à rochas anfibolíticas, sendo que e amostra de mão, estas apresentam quantidades anormais de sulfetos dissemi nados, devendo ser pirita e/ou calcopirita.

As zonas anômalas 58, 68, 78 e 88, apresentaram e amostragem de sedimentos de corrente, teores relativamente elevados par chumbo e zinco. Nestes locais pretendemos adensar mais ainda as amostra gens, com a finalidade de verificarmos as causas dessas anomalias.

METAMAT - 034 - SG

- 48 -

10 - CONCLUSÕES

Com base nos dados geoquímicos apresentados, associados com os geológicos, podemos chegar às seguintes conclusões:

1) A densidade média de l amostra/17,5 km² para concentrados de bateia e l amostra/14 km² para sedimentos de correntes, per mitiram que fossem selecionadas zonas favoráveis a mineralizações de ouro níquel, cobre, cobalto, chumbo e zinco, com consequente elaminação de grande parte das áreas, que não apresentaram nenhuma evidência de mineralização.

2) Os parâmetros geoquímicos calculados nesta etapa de prospecção, devem ser considerados como uma primeira aproximação, uma vez que não foram levados em consideração a variação do índice de pluviosidade, que é marcante na região, provocando, sem dúvida nenhuma forte 1 xiviação na superfície dos solos, diluindo assim os teores de metais nos sedimentos da corrente, além da falta de homogeneidade nas amostragens uma vez que a maioria das drenagens estavam inativas. Entretanto, a de tecção de algumas anomalias, com consequente eliminação de grande parte das áreas requeridas, indica a grande contribuição e economicidade que método de Prospecção Geoquímica Regional, pode fornecer, na identificaçã de áreas (em escala Regional), com maior potencial mineral.

3) O coeficiente de variação, indicou uma grande dispersão para o níquel e cromo e uma dispersão bem maior para o cobre zinco.

ģ.

COMPANHIA MATOGROSSENSE DE MINERAÇÃO

- 49 -

- 4) Os valores de coeficientes de correlação calcul<u>a</u> dos, indicaram haver correlações significativas entre cobre e níquel, cobre e cobalto e cromo e níquel.
- 5) Ficou evidenciado através de diagramas de correlações que o ouro provém de ambiente geológico diferente do de Cu, Ni, Pb Co, etc.
- 6) As principais anomalias de ouro, estão relacione das com os metasedimentos da Unidade Aguapeí, tendo grande possibilidades de estarem associadas à veios de quartzo.
- 7) As anomalias mais expressivas para cobre e níquel, estão associadas principalmente a rochas ultrabásicas (Peridotitos) e básicas (leucogabros).
- 8) O grau de metamorfismo das rochas mapeadas nest: etapa de prospecção varia do fácies xisto verdes ao fácies anfibolito.
- 9) Existem duas direções preferenciais de falhamen tos e/ou fraturamentos, sendo predominante os de direção NE SW, com direção N NW subordinada. Os corpos ultrabásicos estão condicionados a segunda direção tectônica.
- 10) As curvas de frequências estabelecidas a parti dos teores apresentados, revelaram uma distribuição aproximadamente log normal para Ouro, Cobre, Níquel, Cobalto, Cromo, Chumbo e Zinco.
- 11) A anomalia mais expressiva para Cu/Ni, revelou teor em amostra de rocha (Peridotito), de 4300 e 2600 ppm, para Cu e Ni respectivamente, que é alto em qualquer perspectiva, ainda mais se compa

20 bls. - 100x1 - 12/81



- 50 -

rarmos com outras regiões, como por exemplo Americano do Brasil-Go, cujos maiores valores encontrados na fase de Prospecção de Semi-detalhe foram de 2050 ppm para Cobre e 5890 para Níquel, em rocha hospedeira.

l2) As anomalias mais expressivas para ouro revelaram teores de 1276,2 e $1126,6~\text{mg/m}^3$ de ouro, o que significa duas vezes 'maior que a anomalia mais expressiva do Projeto Ouro N. S. do Livramento.

- 51 -

11) RECOMENDAÇÕES

Em função dos dados obtidos nesta fase de Prospecção Geoquímica Regional, associada a mapeamento geológico preliminar, recome<u>n</u> da-se :

1) Desenvolvimento de Prospecção Geoquímica de Sem<u>i</u>
-detalhe, associado a mapeamento geológico, nas zonas anômalas, principa<u>l</u>
mente aquelas de Prioridade A e B.

2) As zonas anômalas de Prioridade C devem ser prospectadas, com amostragem mais espaçadas que A e B, inclusive percorrendo as drenagens em suas cabeceiras, com objetivo de descobrir a causa dos teores anômalos.

3) Se tratando de sulfetos, deve merecer especial <u>e</u> tenção as zonas anômalas associadas a rochas básicas e ultrabásicas, como por exemplo : 4A, 4B, 5A e 5B.

4) Que seja feito análise química para As, em algumas amostras, com a finalidade de utilizar este, como farejador de minerga lizações auríferas, uma vez que foi encontrado fragmentos de arsenopirita associada ao ouro.

5) Que sejam feito estudos de minerais pesados n próxima etapa de prospecção, com a finalidade de observar se alguns min rais como Cromo, Platina, etc, ocorrem na forma detritica.



12 - BIBLIOGRAFIA

- 1 ALMEIDA F.F.M. de <u>Sistema Marginal do Craton do Guaporé</u>

 IN : Anais do XXVIII Cong. 8ras. de Geol. Vol. II

 Porto Algre, RS, 1974.
- 2 BARROS A. M. Geologia Pré-Cambriana da Folha SD-21 Cuiabá.
 IN : I Simpósio de Geologia do Centro-Deste "Geologia do Pré-Cambriano, Goiânia-Go, 1982.
- 3 FIGUEIREDO A.J. de A. et alii <u>Projeto Alto Guaporé</u>

 Relatório Final. DNPM/CPRM, relat. Inédito/s.ident
 Goiânia-Go, 1974.
- 4 GODOI H.O. <u>Projeto Ouro N.S. do Livramento</u>

 Relatório de Prospecção Preliminar ETAPA I. Cuiabá-M†

 METAMAT/CPRM, 1982. (Inédito).
- 5 HYNOMAN D.W. Petrology of Igneous on Metamorphic Rocks Mc GrawHill Book Comapny, USA, 1972.
- 6 LINDENMAYER Z. G. <u>Geologia dos Corpos Máfico-ultramáficos Mineral</u>

 <u>zações a Cobre na região do Vale do Alto Rio</u>

 <u>Curaçá</u> In XXXI Cong. Bras. de Geol. Vol. III

 Camburiú, SC, 1980 pg. 1616 1627.
- 7 MARQUES J.M.M. <u>Prospecção Geoguímica</u> Porto Alegre. Universidad Federal do Rio Grande do Sul. Edição D.A.E.G. 1978
- 8 MORAES R.A.V. <u>Projeto Cabeceiras do Rio Guaporé</u> Levantamento

 Aerogamaespectrométrico e aeromagnetométrico do Es

 tado de Mato Grosso. CPRM/PROSPEC. Relatório Final

 1978.



- 53 -

- 9 NAGAO et alii <u>Jazimentos de Amianto Crisotila da Mina de Cana Bra-va Goiás.</u> IN: os principais depósitos minerais da Região Centro-Deste. MME/DNPM, Goiânia, 1981.
- 10 SANTOS M.M. e RIBEIRO M.J. <u>Prospecção Geoquímica de Semi-detalhe e</u>

 <u>Detalhe no Maciço Básico/ultrabásico de Americano '</u>

 <u>do Brasil</u>, IN: XXVIII Cong. Bras. de Geologia, Vol.

 5, 1973. pg. 273 287.



13 - <u>F O T O S</u>

METAMAT - 034 - SG 20 bis, - 100xt - 12/81





FOTO l — Afloramento de rochas do Complexo Basal no Rio Aguapeí próximo a Faz. Alvorada, na parte sul das áreas pros pectadas.

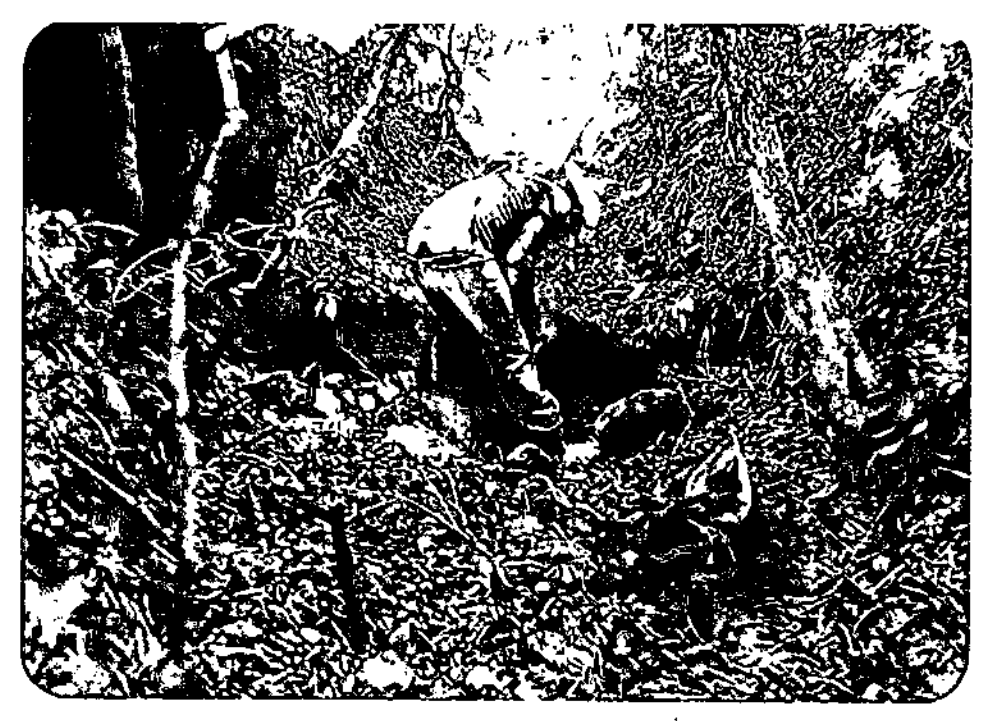


FOTO 2 – Amostragem de concentrado de bateia, em local favorávo a deposição de ouro, em drenagem Inativa (sêca).





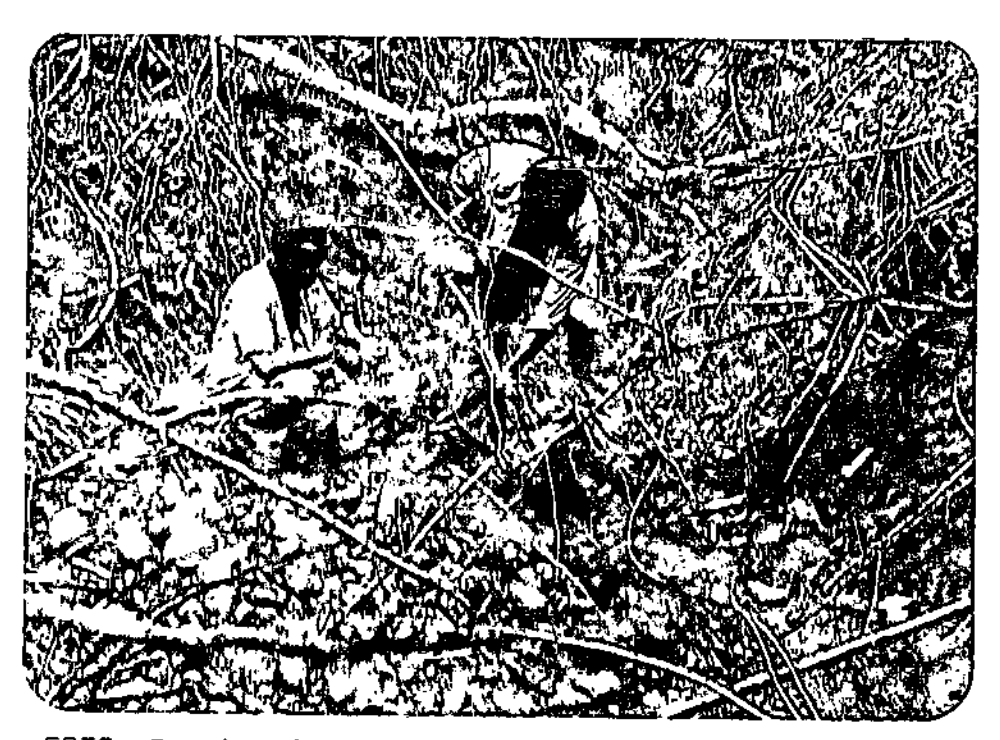


FOTO 3 e 4 - Amostragem em drenagens inativas.





FOTO 5 - As emostres erom transportadas à grande distânsia.



FOTO 6 - Local de bateamento no Rio Aguapeí.





FOTO 7 - Açude da Faz. Cristal, onde muitas vezes era utilizado para bateagem.

METAMAT + 034 - SG 20 bis. - 100x1 - 12/81



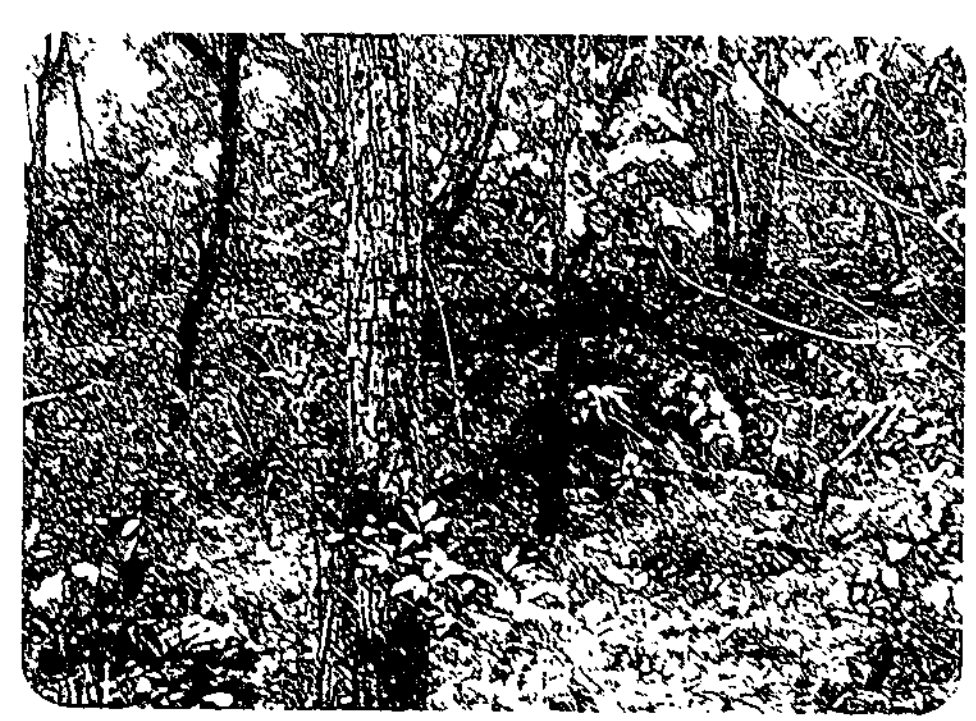




FOTOS 8 e 9 - Locais de antigos garimpos de Ouro na região, obj to de intensa garimpagem pelos portugueses entre inicio do século XVIII e metade do século XIX.







FOTOS 10 e 11 - Idem fotos 8 e 9.







FOTOS 12 e 13 - Garimpos de ouro abandonado. O ouro está asso ciado à veios de quartzo.





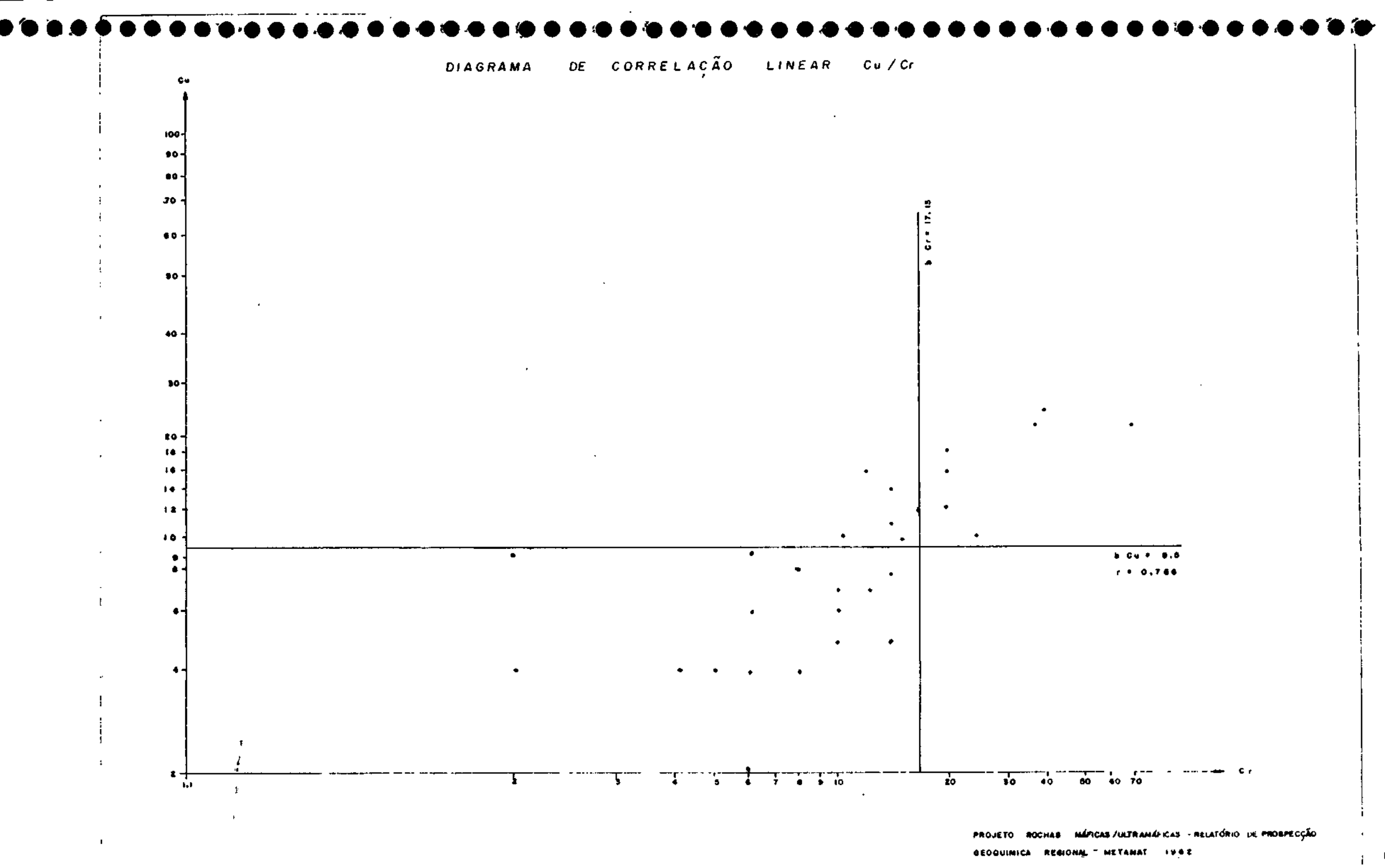
FOTO 14 - Detalhe do veio de quartzo mineralizado.

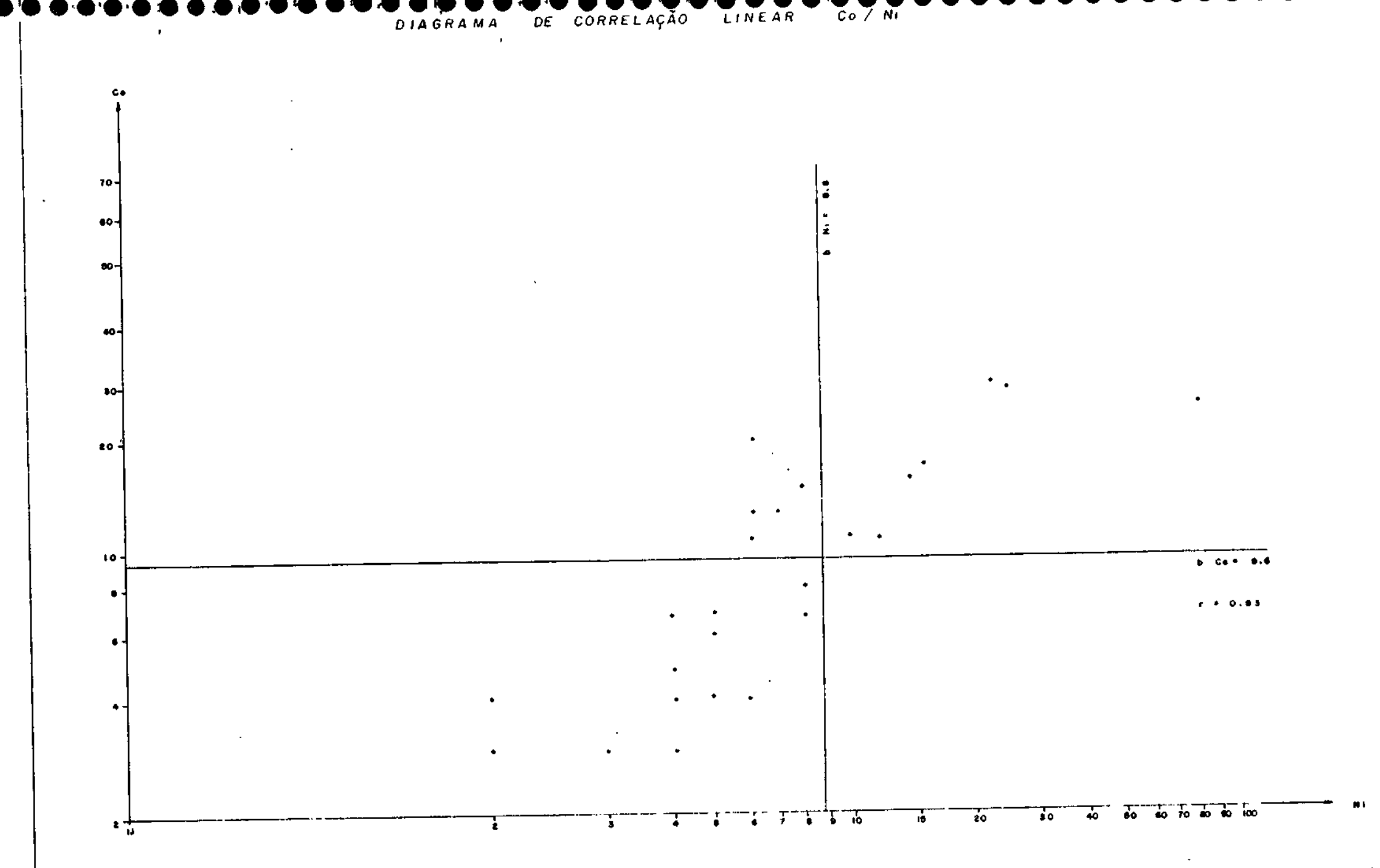


14 - ANEXOS

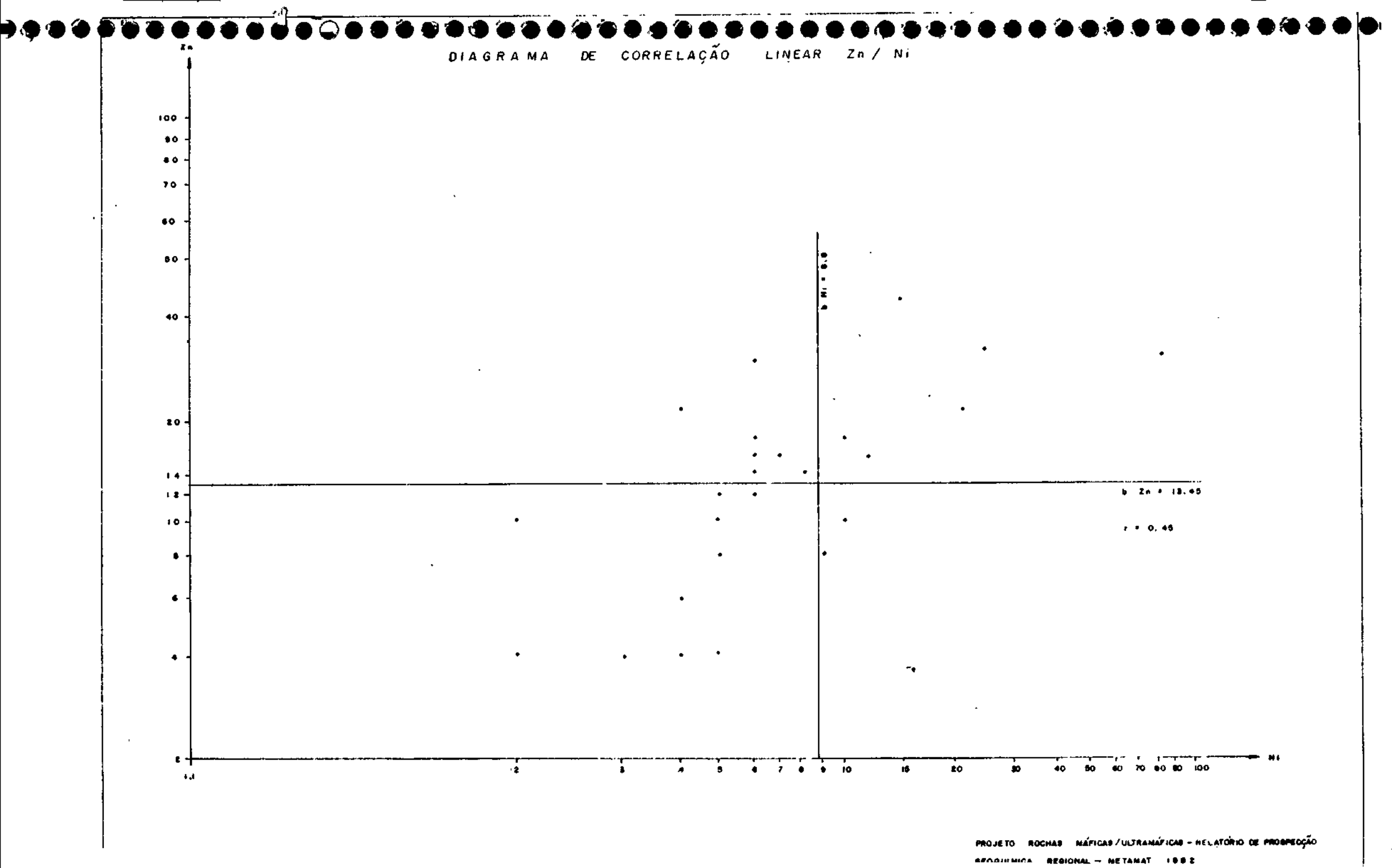
METAMAT - 034 - SQ

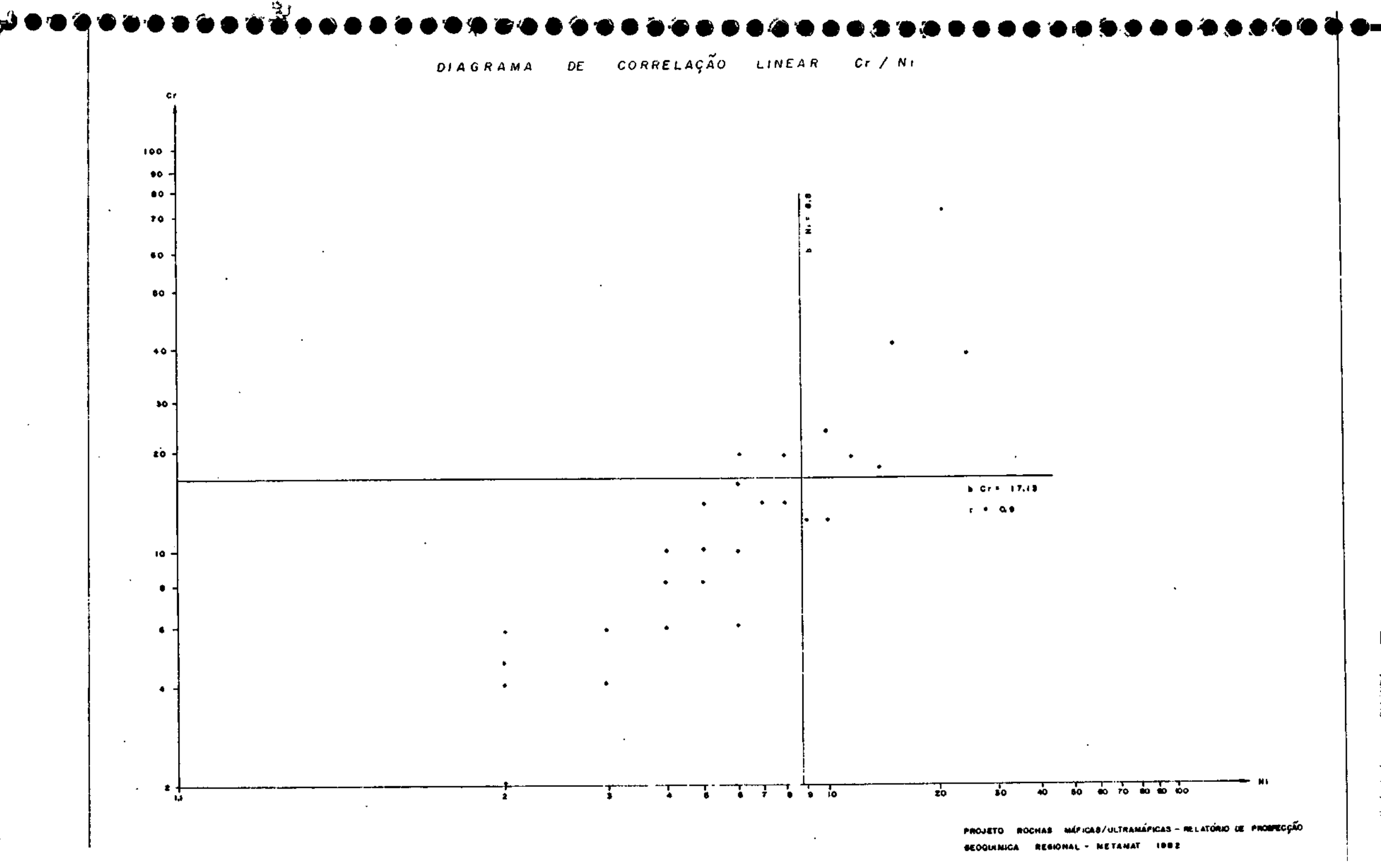
20 bls. - 100x1 - 12/8

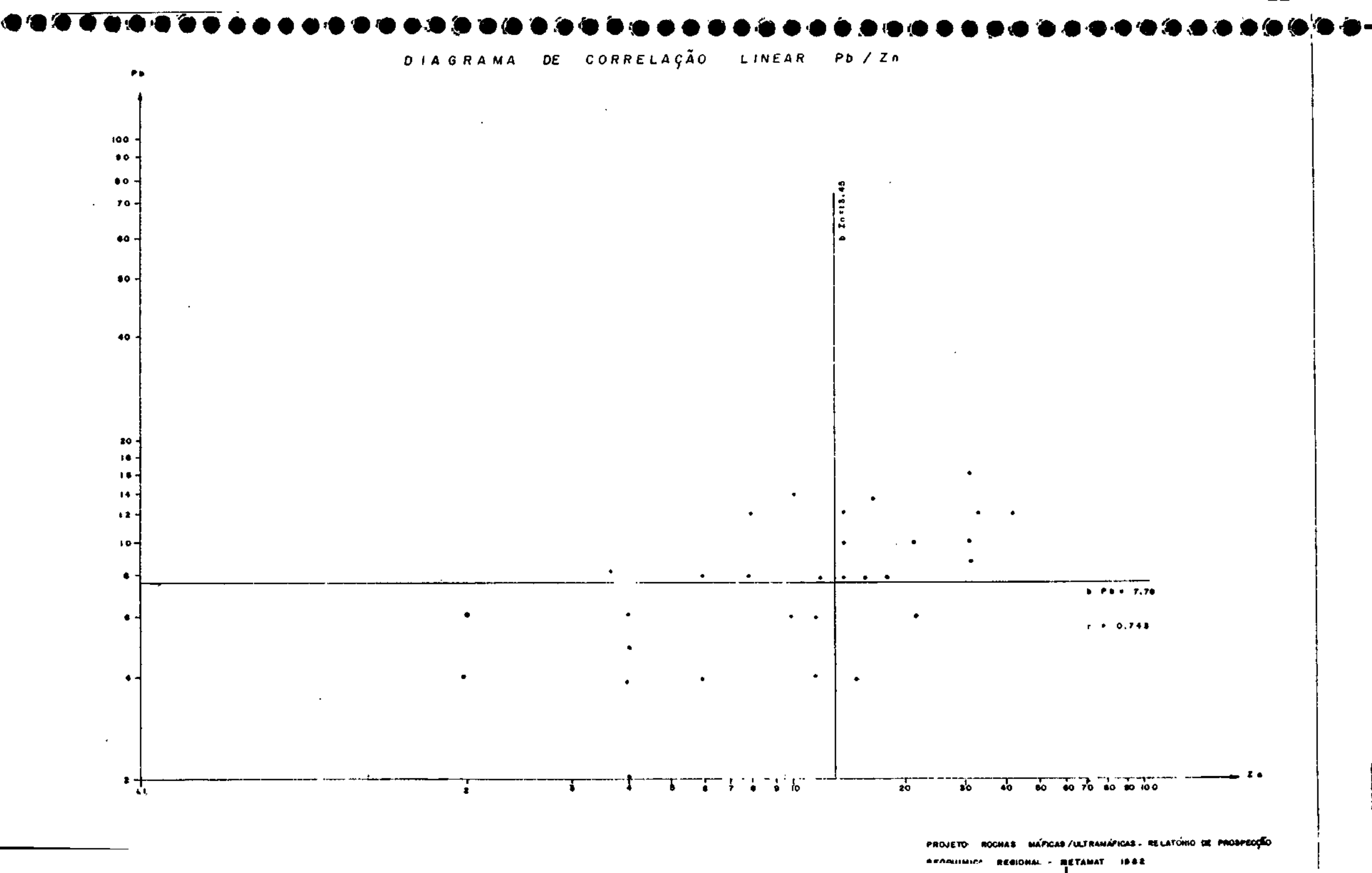


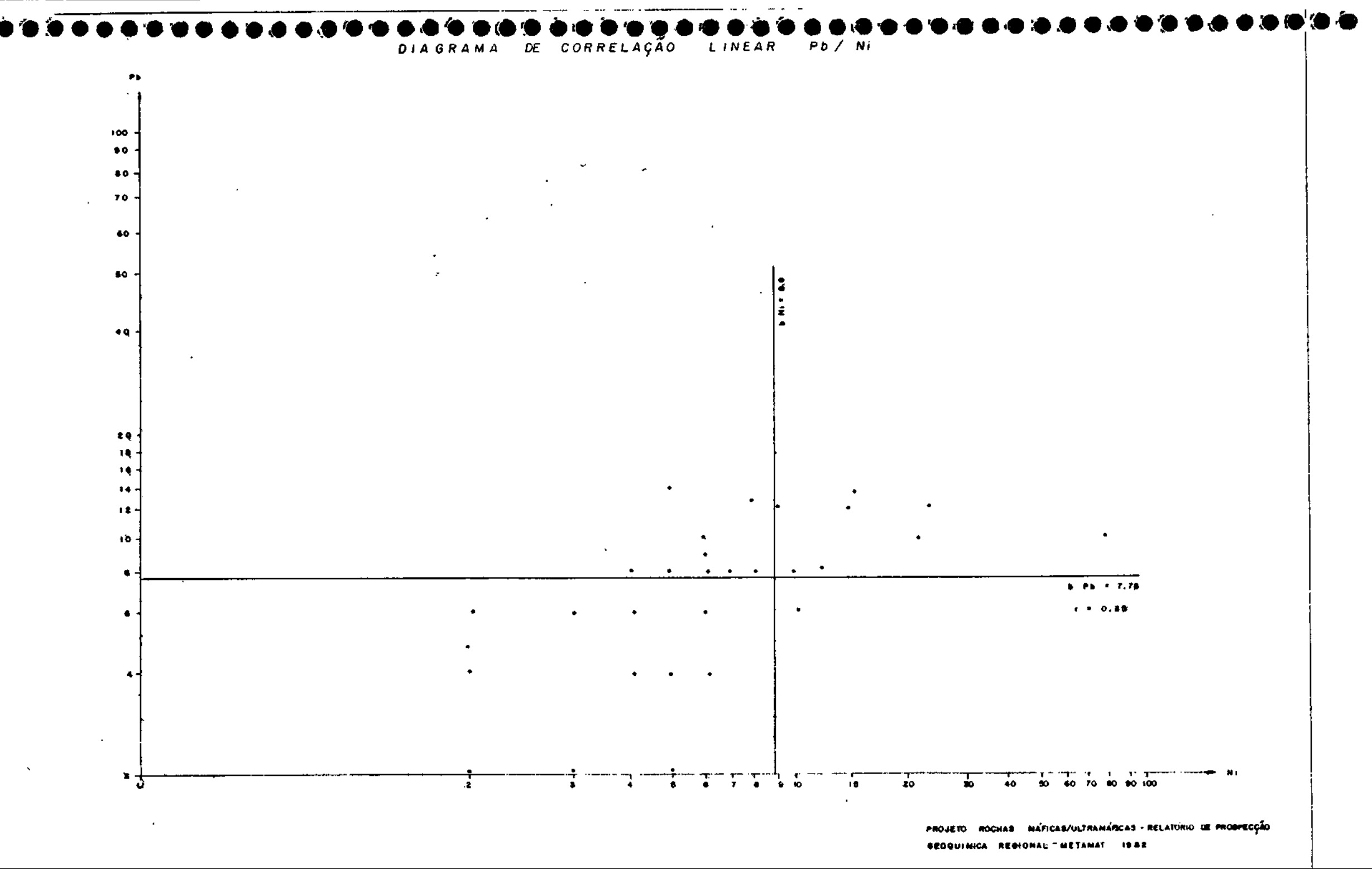


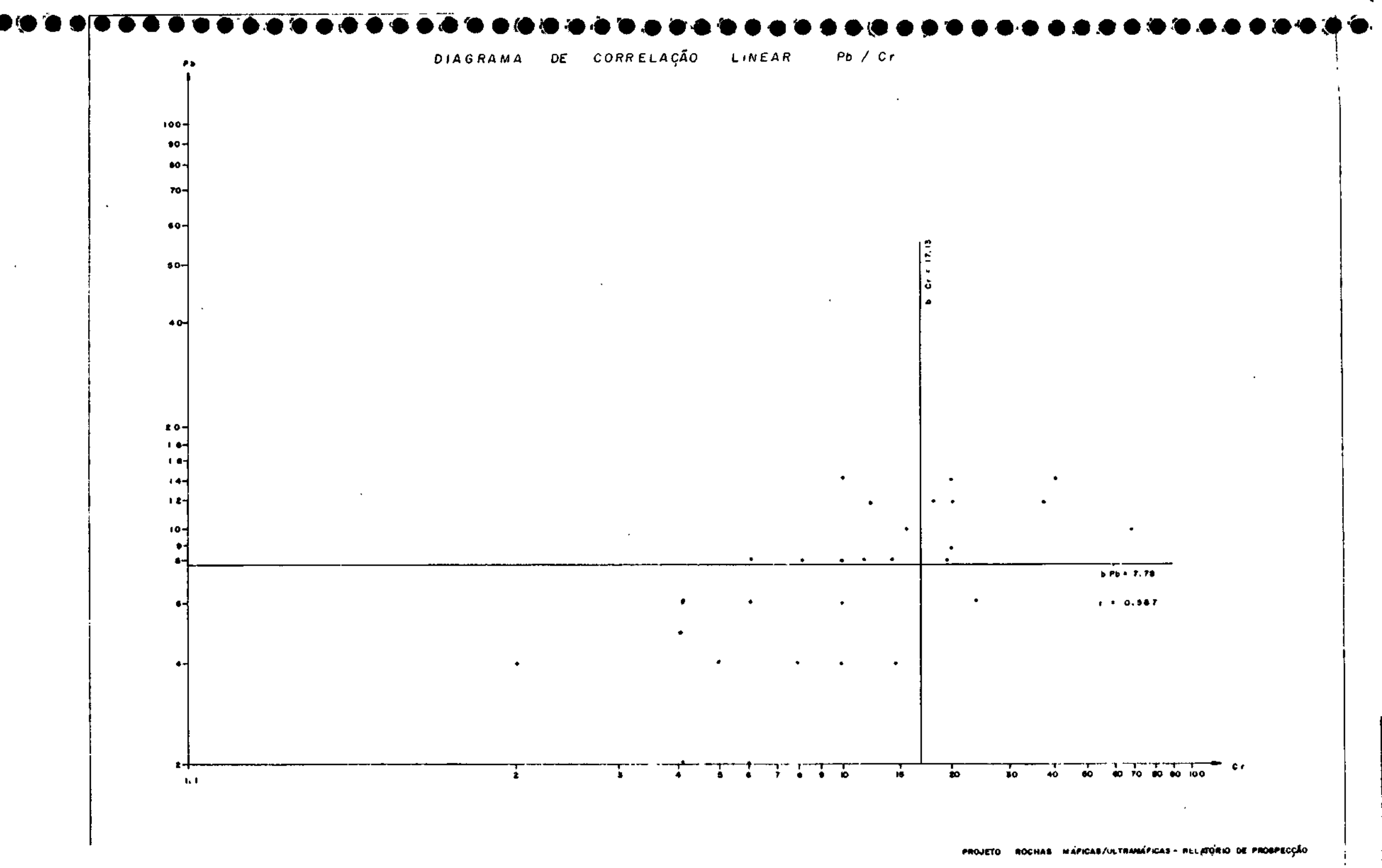
PROJETO ROCHAS MÁFICAS/LITRAMÁFICAS -RELATORIO DE PROSPECÇÃO SEDQUIMICA RESIONAL - NETAMAT 1988

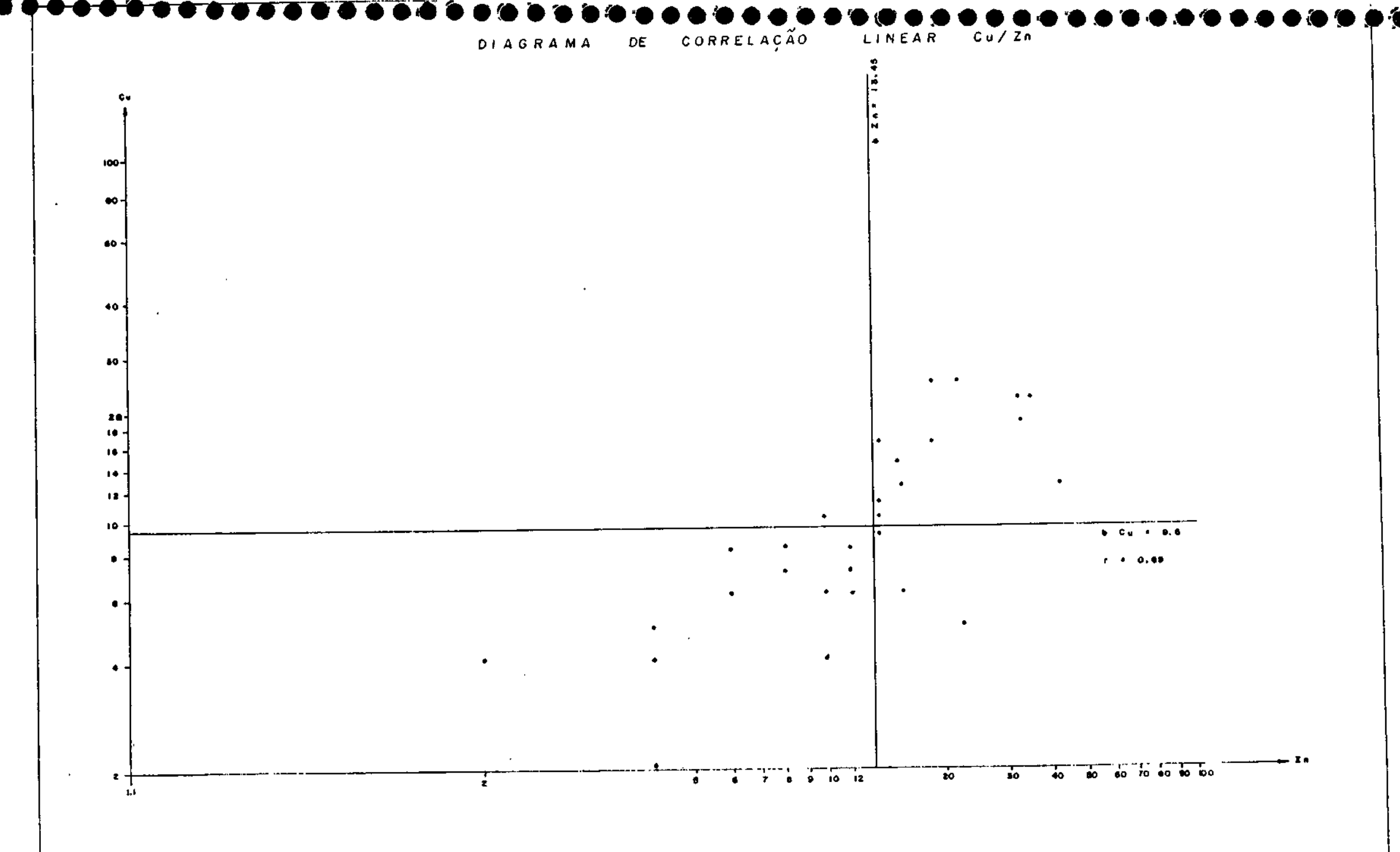


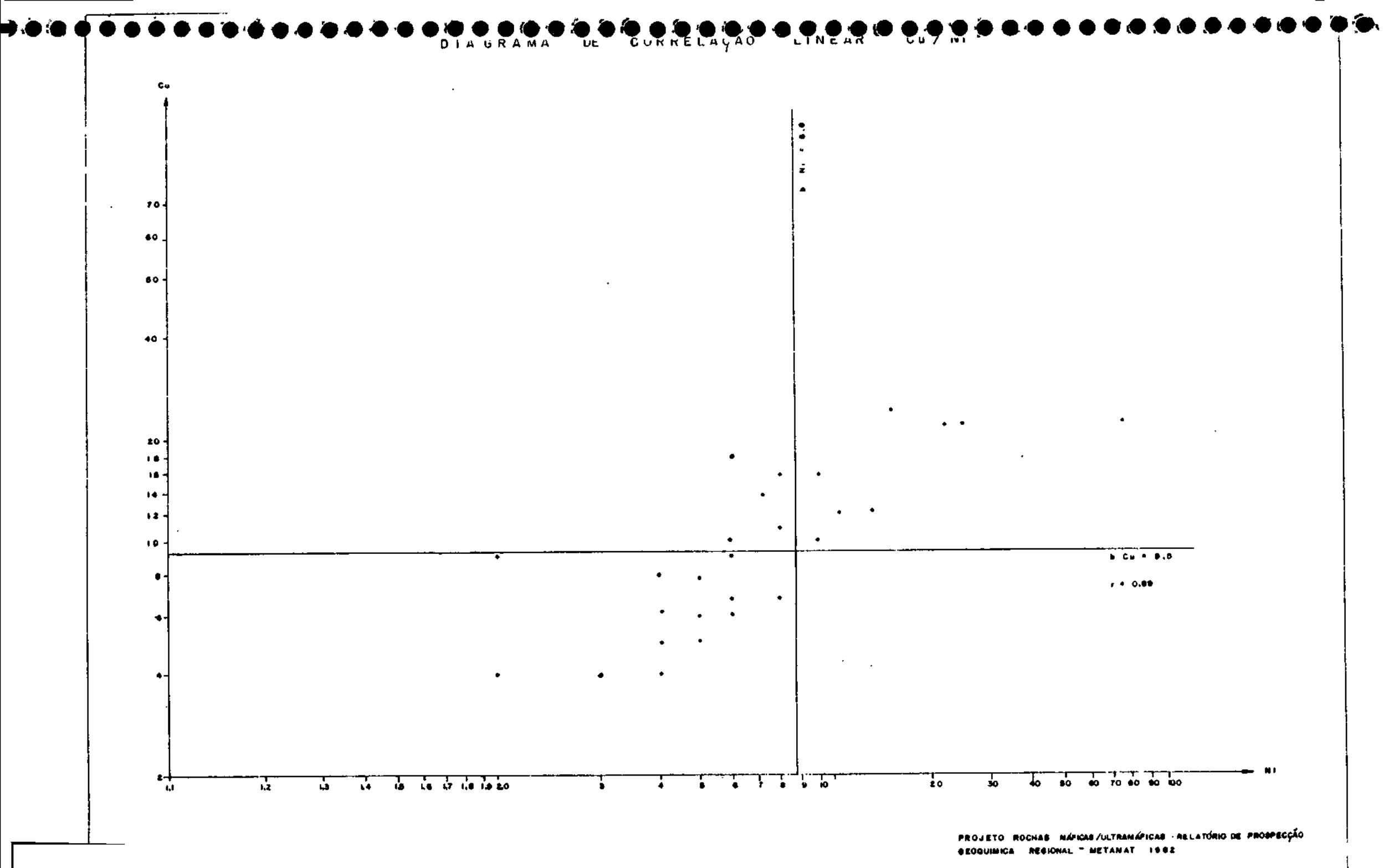


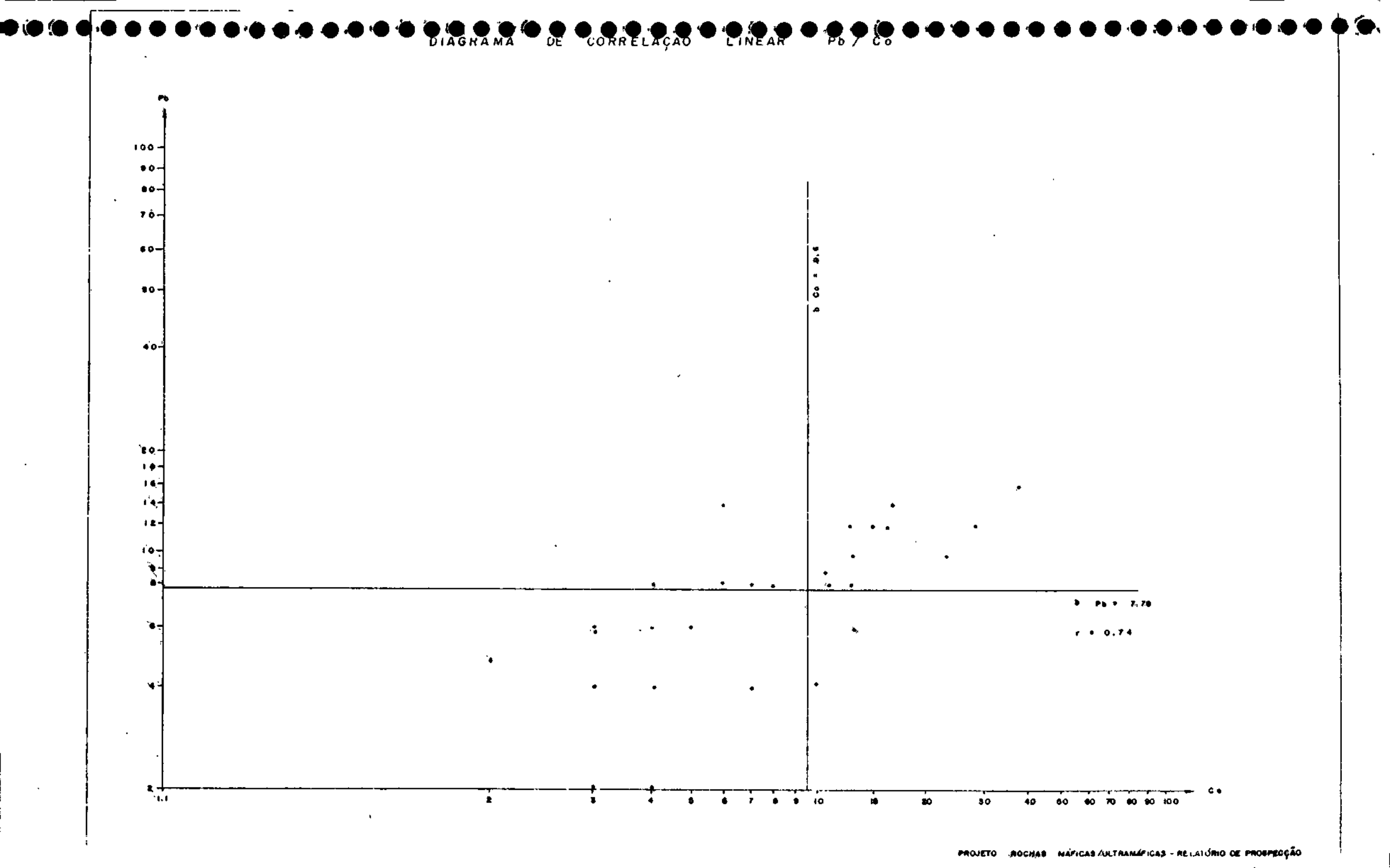


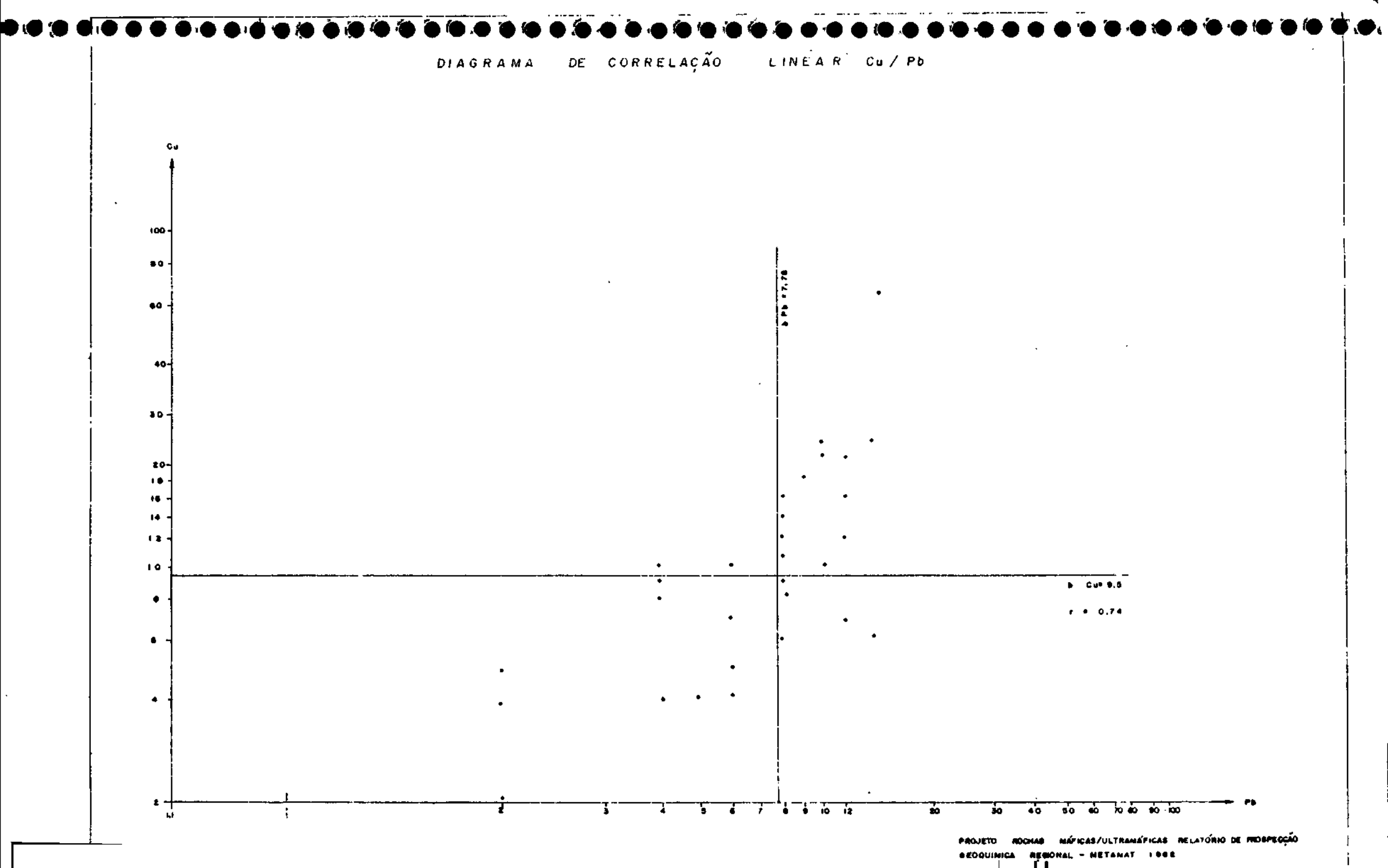


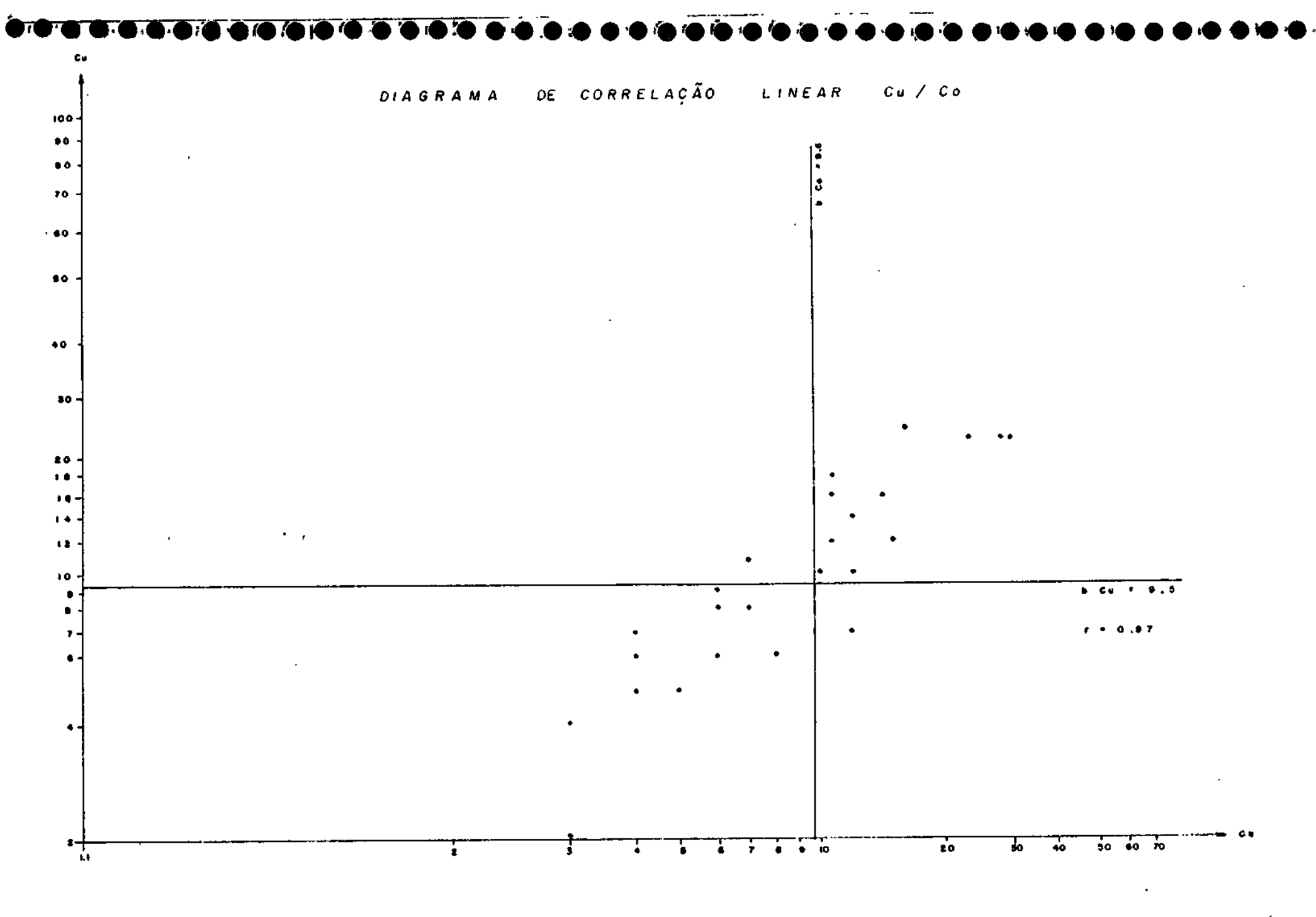












PROJETO ROCHAS MÁPICAS/ULTRAMÁFICAS «RELATÚRIO DE PROMPECÇÃO BEOQUÍMICA REGIONAL "METAMAT 1988



AMAT . OSE . SC

COMPANHIA MATOGROSSENSE DE MINERAÇÃO

↓1 → <u>M</u>YTRODUÇÃO

O presente relatorio trata das atividades de pesquises realizadas pela Companhia Matogrossense de Mineração - METAMAT, concepsor de de fase de françeição Geoquímica Regional do Projeto Rochas ' Maricas/Ultramáticas das Capeceiras do Rio Guapora. Teve como objetivo principal indicar zonas anomalas pare Ni, Cu, Cr, Co, Pb, Zn e Au, atra ves de amostragem geoquímica de aedimentos ativos de corrente e concentrados de bateia, numa area de 20.000 ha cujos processos no DNPM são: 862.205/80 a 862.206/80, \$61.380/81 a 861.39/81 e 861.639/81.

866682/88

Weste etapa os trabalhos foram pesenvolvidos por uma equipe de prospecção, formada pelo gentogo Lourival Alves Vanconce - los e pelo prospector fabilo Henrique de Garvalho, foram Coletadas um to tal de 94 amostras servio 37 de sedimentos de Carrente, 41 de ponçentra- dos de pateia e 15 de roomas.



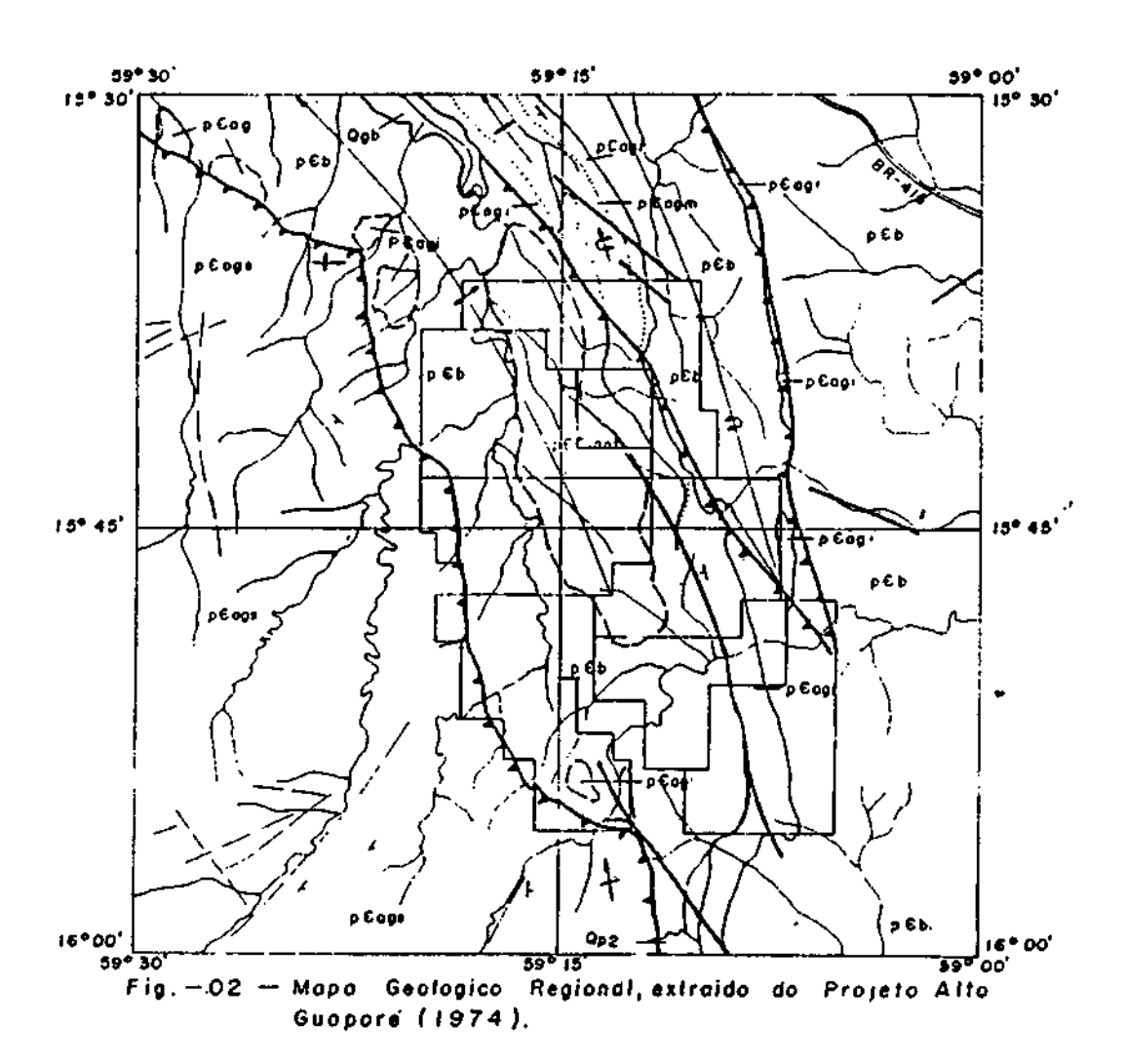
4 - GEOLOGIA REGIONAL

A região objeto desta pesquisa situa-se sobre a porção SSE do Craton do Guaporé, ou duvidosamente do Complexo Xingu (Barros, 1981), com idade mínima de formação em torno de 1400 m.a., entretanto podendo per bem maio entique, rozão pelo qual seu posicionamento poderá che gar ao Pré-Cambriano Inferior à Médio. É constituído por rochas metamórficas de fácies anfibolitos a fácies xisto verde, com gnaisses a biotita, gnaisses a duas micas, biotita-hornblenda gnaisses, além de outras rochas gnaíssicas menos comuns, e biotita muscovita xistos, seguidamente apresentando cloritas como constituinte importantes.

Essas rochas foram afetadas por vários fenômenos de prestivações tectono-magmáticas, permanecendo seus registros, como por exem plo os corpos ígneos intrusivos de caráter ácidos e básicos/ultrabásicos, fenômenos metamórficos e retrometamórficos, ilustrando o prolongado perío do destas atividades tectônicas que agitaram tal província, cratonizada de entes do ciclo orogênico Brasiliano (Almeida, 1974).

Do ponto de vista geológico a região é pouco conhecida salvo pelo mapeamento de reconhecimento geológico executado pela 'CPRM para o DNPM (1973), na escala 1:250.000, denominado Projeto Alto Gua poré (Fig. 2).

As unidades litoestratigráficas mapeadas pelo pro<u>je</u> to acima citado podem ser resumidas como seguem, numa ordenação da basé para o topo.



CONVENÇÕES

Ogb	Aluviões recentes .
002	Aluviões gatigos
p € ag	Unidade equapei m +)) média i = j) interior
p € Gonf	intrustras (antibolitos)
р€Ь	Complexo basal
	Lineamento estruturat
	falho (nverse e/eu emputião
	fciho normei
	Eixo de antichnal com caimento e flanco invertido
	Erro de sinctinal com caimento
-	Atrivoe de comodo
	Contate aproximado
máic	Drenagem
BR-416	Rodovia sem asfalta



Complexo Basal

Constituido por biotita gnaisses, gnaisses a duas mica biotita-hornblenda, gnaisses, biotita muscovita xistos e filonitos e intrusivas (granitos, serpentinitos, gabros e anfibolitos).

Unidade Aguapei

Foi dividida em três subunidades, enquadradas no Pré-Cambriano Superior.

<u>Subunidade Basal</u>

Formeda por metaconclomerado basal (em contato com as rochas do embasamento), metarenitos ortoquartzíticos com intercalações de ardósia.

<u>Subunidade Média</u>

É constituída por ardósias em várias tomalidades ocorrendo ocasionalmente metasiltitos intercalados.

Subunidade Superior

É formada por metarenitos feldspáticos e metarcósice, com frequentes intercalações ardosianas.

Formação Puga

Compõe-se de conglomerados petromíticos com seixos e matacões de biotita-gnaisse, granitos, quartzitos, arcóseos e quartzo : leitoso.

Unidade Eo - Paleozóico Indiviso

Arenitos conglomeráticos violeta, muito silisificado na base. No topo, arenitos médios a finos.

- 09 -

Formação Parecis

Arenitos ortoquartzíticos médios a finos, friáveis, cor amarelo a rosa claro.

Unidade Terciário/Queternário detrito-lateritica

É representada por lateritos maduros e zonados, tendo na base a rocha alterada. Seguindo-se argilas manchadas, níveis de cangas e no topo, nível areno-argiloso.

Formação Guaporé

Aluviões Recentes

Formada por sedimentos arenosos grosseiros à médios e argilosos da atual planície de inundação do rio Guaporé.

Aluviões Antigos

Sedimentos argilosos e arenosos parcialmente later<u>i</u> zados.

ETAMAT . 034 - SG



5 - GEOLOGIA LOCAL

Nas áreas prospectadas foram identificadas rochas '
pré-cambrianas, tidas como pertencentes ao Complexo Basal. Este é const<u>i</u>
tuído principalmente por biotita gnaisses, muscovita-sericita xistos ,
quartzitos e gnaisses retrometamórficos.

Trabalhos mais recentes (1981), executados pelo RA

DAM-BRASIL, correlacionaram duvidosamente este conjunto de rochas como '

pertencente ao Complexo Xingu.

5.1 - Complexo Basal

As rochas do Complexo Basal afloram na porção Sul e Sudeste das áreas prospectadas (Foto 1).

Os biotita-gnaisses constituem cerca de 80% destas rochas, que se compõem predominantemente de feldspato potássico (microclina e ortoclásio), quartzo, plagioclásios, biotita e minerais acessórios.

Os biotita-horoblenda gnaisses são poucos comuns.

Os muscovita-sericita-xistos, se associam a falha - mentos onde ocorrem filonitos e gnaisses brechados. A composição minera-lógica é essencialmente, muscovita, sericita e quartzo.

Os quartzitos são rochas de cores esbranquiçadas , associadas na maioria das vezes à zonas de falhamentos. São constituidos basicamente por quartzo bem recristalizado e óxido de ferro.

Gnaisses retrometamórficos são rochas de coloração'



cinza-esverdeado-avermelhado, granulação fina, alteradas, constituídas por quartzo, clorita e sericita.

Macroscópicamente são constiutídos por quartzo, sericita/clorita e muscovita como minerais essenciais, opacos e zircão como acessórios.

A textura é lepidoblástica - observa-se faixas não contínuas, ricas em cristais anhedrais de quartzo, alternados por faixas ricas em sericita provenientes de feldspato, às vezes, observa-se ainda formas tabulares. Agregados ricos em clorita e alguma muscovita, também são abundantes.

5.2 - Corpos Básicos - Ultrabásicos Metamorfizados

Os corpos básicos/ultrabásicos ocorrem em formas a- Ó longadas e semi-circulares. Os alongados possuem o eixo maior orientado: na direção NNW-SE.

As rochas mapeadas nesta etapa de prospecção são: anfibolitos, epidoto-anfibolitos, metagrabos anfibolitizados, serpentinitos, peridotitos e filonitos.

Os epídoto-anfibolitos e anfibolitos são predomina<u>n</u> temente constituídos de anfibólios, epídotos, plagioclásios, tendo como minerais secundários: clorita, quartzo, apatita, biotita, titanita, feldospato potássico e opacos. Comumente apresentam textura nematoblástica e estrutura orientada, porém alguns anfibolitos retrometamorfizados, apresentam textura porfiroblástica, constituída por pórfiros de horblenda.

Os anfibólios são predominantemente da variedade



hornblenda verde, que podem estar total ou parcialmente transformados em anfibólio fibroso ou acicular (tremolita e/ou actinolita), ou mesmo em clorita. Foram também observadas transformações de anfibólios em epídoto (zoizita/clinozoizita). Em algumas amostras foram identificados clinopiroxênios em forma de cristais reliquiares no centro dos anfibólios e tam bém vênulas dispostas ao acaso, preenchidas de clinopiroxênio subudiomórficos em parte substituídos por hornblenda e cristais de quartzo. A tremolita pode resultar da alteração de piroxênios, segundo a reação: piroxênio— hornblenda— tremolita.

Os plagioclásios ocorrem com grande frequência. En tretanto em muitas rochas apresentam-se transformados em epídoto (clino - zoizita e/ou zoizita) e sericita (saussurita). Comumente os plagioclásios não preservam maclas de geminação, dificultando com isto sua determinação. A clorita pode também ser resultante da alteração dos plagioclásios.

Os epídotos parecem ter pelo menos dois tipos de <u>ge</u> rações nestas rochas : um ligado à transformação de plagiculásio e/ou anfibólios, e o outro ligado a veios secundários, correlacionados a fenômenos hidrotermais.

A transformação de plagioclásios em epídotos e cl<u>o</u> rita é uma grande evidência de fenômenos retrometamórficos.

disposto intersticialmente com feldspato potássico, e também na forma de veios, provenientes da fase hidrotermal, associado aos cristais de epídoto.



Os piroxênios quando presentes encontram-se quase 'completamente alterados para anfibólios (uralitização), nalvo alguns restígios encontrados.

Apatita, titanita e feldspato K são os acessórios ' frequentemente encontrados nestas rochas.

Os opacos existentes não foram identificados, mas sabe-se que a maioria são sulfetos de ferro (FeS) , pois são visíveis à olho nú.

As diversas reações de transformações dos minerais presentes e suas associações indicam claramente fortes evidências de que as rochas anfibolíticas e epídoto-anfibolíticas sofreram intenso retrometamorfismo e forte ação hidrotermal.

A presença de piroxênios em algumas amostras e a quase ausência de quartzo, além da grande variação textural apresentada ' por estas rochas, são evidenciadas de que elas se originaram de rochas ' ígneas básicas (gabros, basaltos, diabásios, etc), que foram submetidas a intenso retrometamorfismo.

Metagabros Anfibolitizados (Leucogabros)

Estas rochas, ocorrem à sul das áreas prospectadas. São constituídas predominantemente por plagioclásica, hornblenda e clina-piroxênio diopsídio e augita. Como minerais secundários ocorrem opácos, biotita e caulinita.

Os plagioclásios são os maiores constituintes, apr<u>e</u> sentando cristais tábulares, anhedrais a subhedrais, geminados segundo Léi



da Albita/Periclina e Albita/Carslbad. Alguns cristais encontram-se alterados, principalmente para caulinita.

A hornblenda mostra-se em cristais prismáticos sub a anhedrais. Observa-se alterações dos piroxênios para anfibólios.

A biotita parece originar-se dos máficos, principa<u>l</u> mente dos piroxênios.

Estas rochas parece estar em zonas ou porções do Complexo Basal em que a ação retrometamórfica foi bem menos intensa, que nas regiões onde ocorrem os anfibolitos e epídoto-anfibolitos. Este fato é comprovado, pois os plagioclásios dos metagabros estão menos alterados que dos anfibolitos e a transformação de plagioclásio ou anfibólio em epídoto ou clorita não foi verificada.

<u>Filonitos</u>

São rochas de cor esverdeada, granulação fina e foliada. Estão no mesmo nível topográfico que os anfibolitos.

Petrograficamente são constituídos de carbonato clorita, quartzo, epídoto e opacos. A textura é cataclástica.

O carbonato ocorre em diminutos cristais, entremeados por cristais de quartzo e de epídoto, orientados. A clorita mostra - se em lamelas agrupadas, dispostas oblíquamente à faixas de xistosidade cataclástica. Vênulas preenchidas por carbonato em cristais romboédricos subdiomórficos, medindo em torno de 0,65 mm, além de quartzo em cristais fraturados, partidos, com extinção ondulante, são também concordantes com a xistosidade.



Serpentinitos

São rochas de cores esverdeadas, granulação fina a média, estrutura orientada, constituída macroscópicamente por serpentina. É bem visível também, grande quantidade de magnetita nestas rochas.

Petrograficamente foram identificados os seguintes minerais : serpentina, carbonato magnesiano e opacos.

No mesmo corpo serpentinítico, em rocha semi-alter<u>a</u> da foram identificados os seguintes minerais : serpentina, opacos, olivina, clinopiroxênio e clorita.

A serpentina trata-se de antigorita fibrolaminar e crisotila. Mostra ainda núcleos remanescentes, com olivina parcialmente' serpentinizada e também clinopiroxênio total ou parcialmente serpentiniti zado, com estrutura em malha.

O mineral opaco liberado pelo processo de serpentinização apresenta-se orientado segundo fraturas irregulares, ou em cristais xenomórficos.

A clorita é pouco abundante, associa-se à serpentina. Bastante abundante é a presença de serpentina azul-arroxeada.

Pela composição mineralógica apresentada pela rocha semi-alterada, sugerimos para os serpentinitos uma origem a partir de Peridotito.

<u>Peridotito</u> (Harzburgito)

São rochas de coloração preta com pontos esbranquiçados, granulação grosseira, estrutura percialmente orientada. Macroscó-

MAT - 034 - SG



picamente são observados cristais de olivina alterados.

Petrograficamente são constituídas por scrpentina , olivina, ortopiroxênio e opacos.

A serpentina (antigorita e/ou crisotila) parece ser produto de alteração da olivina, que encontra-se total ou parcialmente alterada mas preservando estrutura hexagonal característica.

O ortopiroxênio (Hiperstênio), apresenta-se parcialmente alterado, envolvendo os núcleos remanescentes de olivina.

Opacos ocorrem em quantidades razoáveis, sendo que a maior parte é liberado pelo processo de serpentinização.

Esta rocha encontra-se parcialmente serpentinizada.

5.3 - Corpos Ácidos

Nas áreas prospectadas somente um corpo de natureza ácido foi encontrado.

Granitos

São rochas de cores rosadas, granulação grosseira , muitas vezes porfiríticas, leucocráticas, constituída por feldspato potássico, plagicclásio, quartzo e biotita.

5.4 - Metagrauvacas

São rochas de cores cinza esverdeadas, granulação f \underline{i} na à média, textura granoplástica.

Petrograficamente são constituídas por : quartzo , plagioclásio, epídoto, clorita, feldspato potássico, hornblenda, sericita e opacos.



O quartzo apresenta cristais subhedrais a anhedrais' alguns cristais com extinção ondulante. Os plagioclásios encontram-se pa<u>r</u> cialmente alterados principalmente para epídoto, clorita e sericita.

A clorita apresenta-se cristais anhedrais, formando' uma massa irregular na matriz.

O zircão, hornblenda e opacos são acessórios, ocor - rendo em pequena quantidade.

A posição estratigráfica destas rochas é multo duvidosa.

Muitos autores citam a associação quase constante dos peridotitos e serpentinitos com sedimentos geossinclinais (grauvacas e cherts) e rochas vulcânicas (basaltos, espilitos, etc).

5.5 - Unidade Aquapeí

As rochas desta Unidade repousa sobre as rochas do Complexo Basal, em discordância erosiva e através de falhamentos inversos (Moraes, 1978).

Sua ocorrência nas áreas prospectadas é bastante de<u>s</u> tacada, constituindo grandes cristas alinhadas segundo a direção NW-- SE , coincidindo com as mesmas direções dos grandes falhamentos, tendo sido por eles condicionados.

. Nas áreas prospectadas não foram observados os con glomerados basais da Subunidade Inferior da Unidade Aguapeí, descrita no Projeto Alto Guaporé.

A Subunidade Média é composta por intercalações de



ardósias, filitos e metasiltitos, enquanto que a Superior é constituída ' basicamente por metarenitos feldspáticos, que nas regiões de falhamentos ' tomam aspectos de quartzitos.

5.6 - Solos Argilosos e Lateritas

O regime pluvial imperante na região, com alta plu - viosidade concentrada em períodos regulares, alternando em épocas de estia gem, favorecem o desenvolvimento de solos lateríticos, com mobilizações e fixações de ferro, propiciando inclusive a formação de cangas lateríticas como são encontrados em diversos locais das áreas prospectadas.

Os solos desenvolvidos nesta região variam de argiloarenosos à argilosos, de cores avermelhadas. Em alguns locais, principal
mente em cortes de estradas poderá encontrar rocha alterada.

5.7 - Estruturas

De uma maneira geral a compreensão do comportamento estrutural das rochas nesta região, está bastante prejudicada, quer pelo seu estado de alteração intempérica, quer pelo masceramento dos solos que caracterizam sua área de afloramento, e também pela complexidade litológico-estrutural.

Entretanto existem duas direções preferenciais de f<u>a</u>

lhamentos e/ou fraturamentos, sendo predominantes os de direção NE - SW ,

com direção N,- NW subordinada.

Os corpos básicos/ultrabásicos parecem estarem relacionados a essa segunda direção tectônica, devendo ser falhamentos de tensão da crosta de grande magnitude.



- 19 -

Os metassedimentos da Unidade Aguapeí foram empurrados contra as rochas do Craton do Guaporé e as feições estruturais desenvolvidas pertencem ao Sistema de falhamentos de direção geral NW - SE, que afetaram também as rochas do Complexo Basal.

20 bis. - 100x1 - 12/81

AT - 034 - SG